

Synthese Eingebetteter Systeme

Sommersemester 2011

17 – Abbildung von Anwendungen: Entwurfsraumerkundung und Beispiele

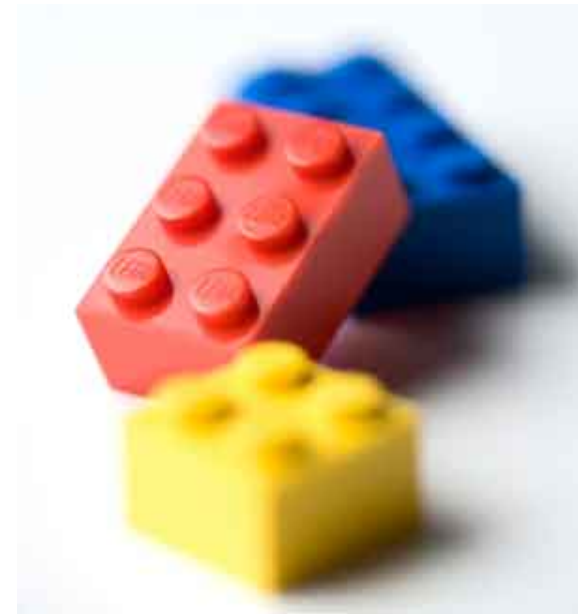
Michael Engel
Informatik 12
TU Dortmund

– unter Verwendung von
Foliensätzen von Prof. Lothar
Thiele und Dr. Iuliana
Bacivarov, ETH Zürich –

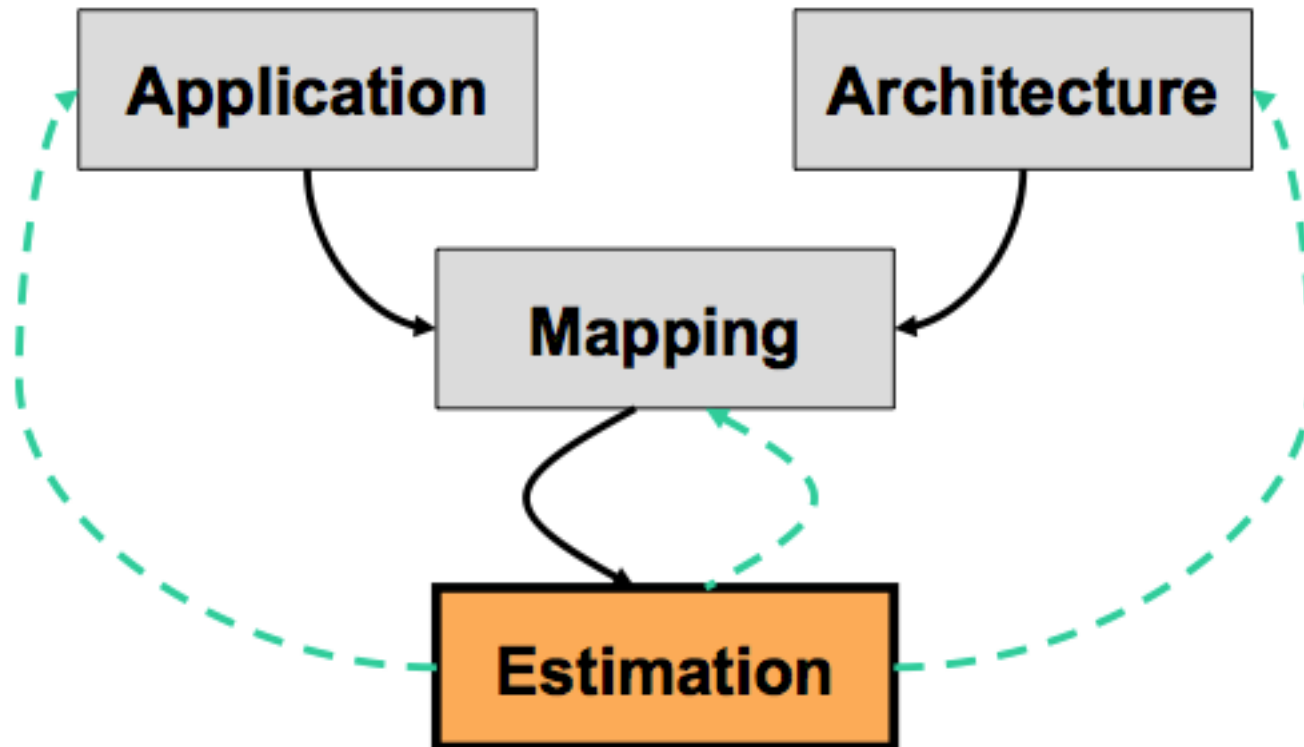
2011/06/29

DOL: Entwurfsraumerkundung & Beispiele

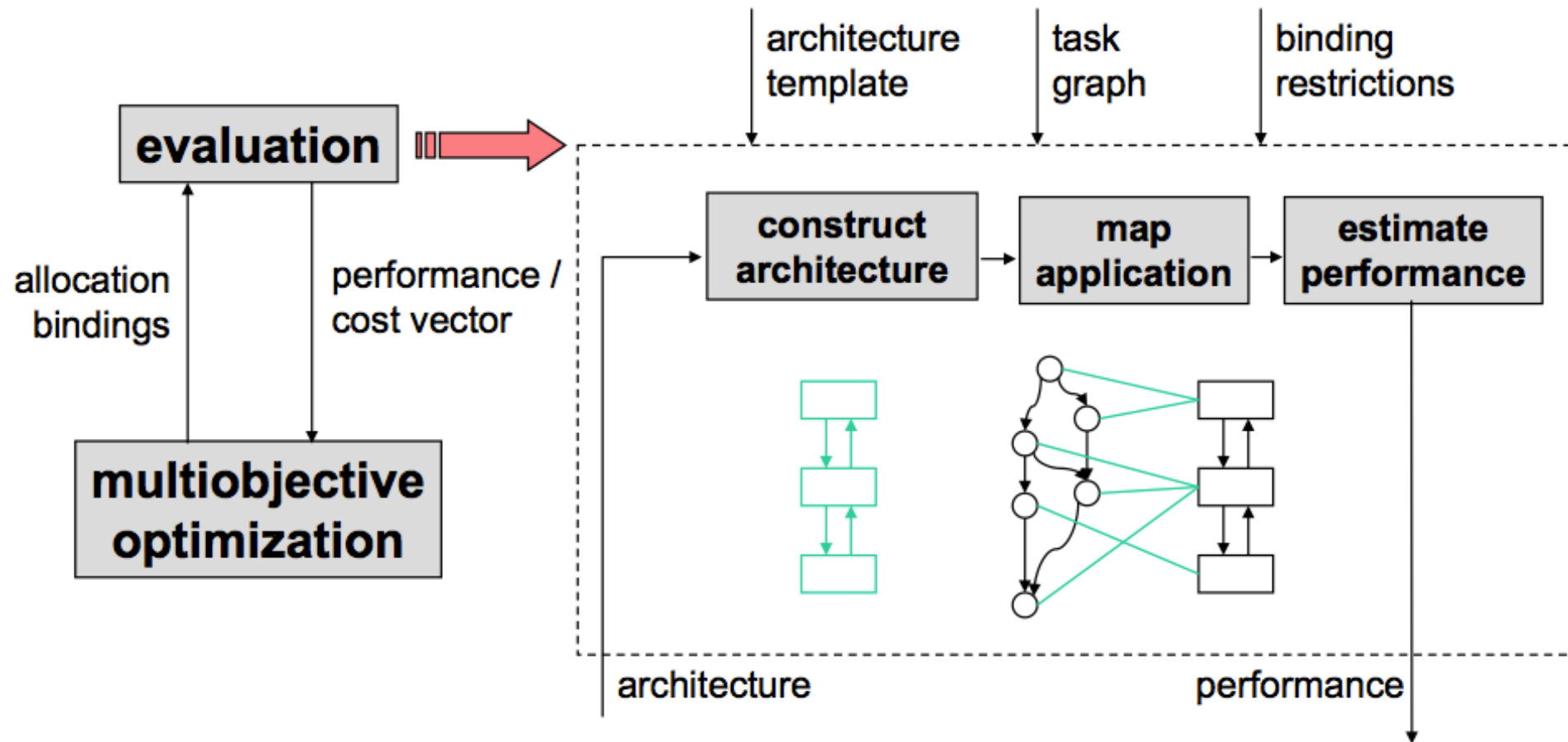
- Entwurfsraumerkundung
- Einfache Beispiele
- MPEG2-Decoder



Entwurfsraumerkundung



Entwurfsraumerkundung im Detail



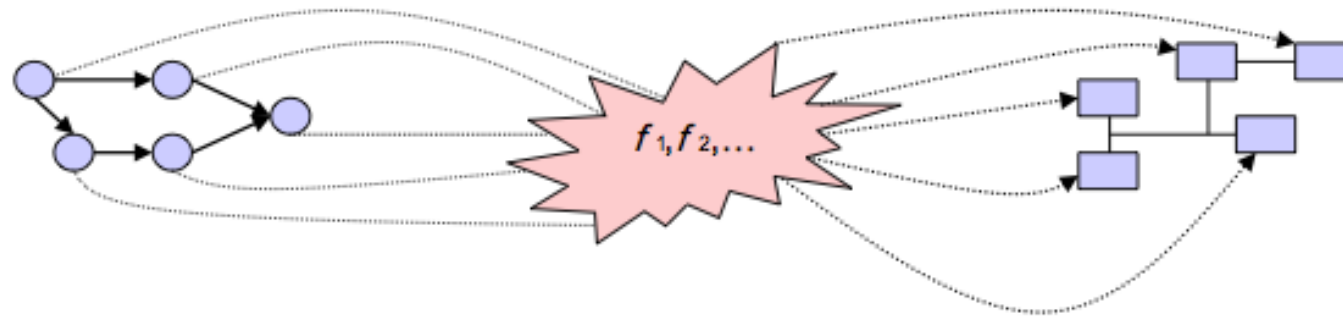
Beispiel 1: Einfaches Modell

Gegeben:

Algorithmus

Abbildungen

Architektur

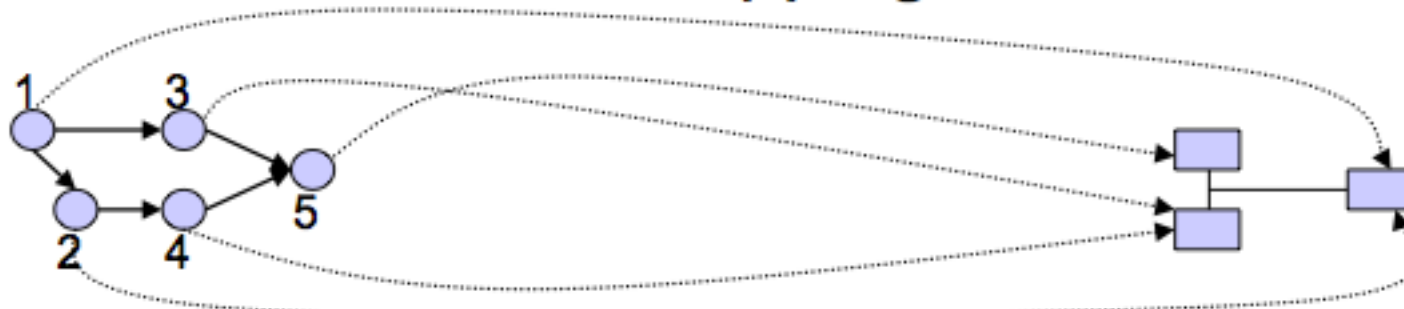


Gesucht:

Schedule

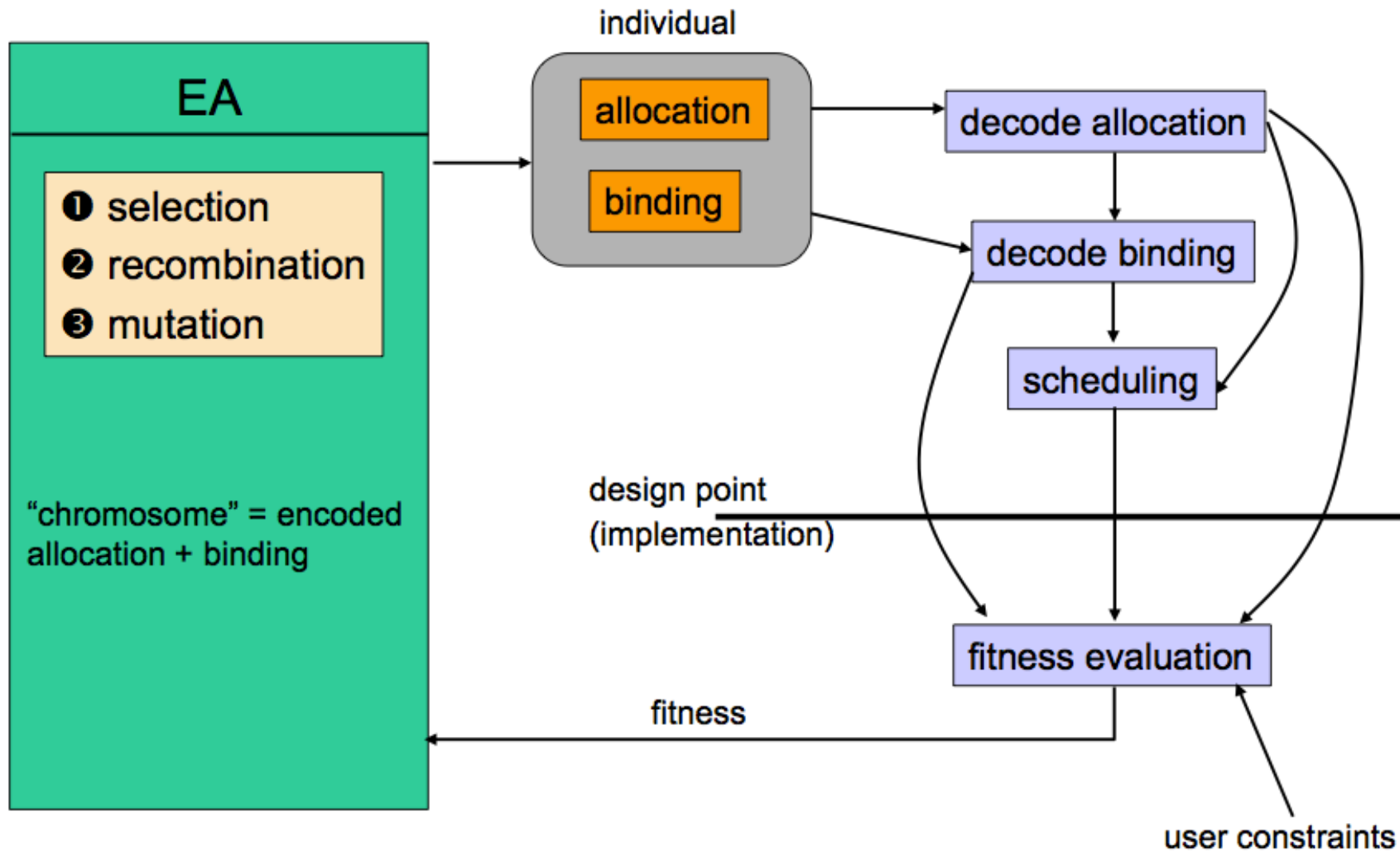
Abbildung

Architektur



Ziele: Kosten, Latenzen, Energieverbrauch

Beispiel 1: Evolutionärer Algorithmus für Entwurfsraumerkundung



Beispiel 1: Basismodell

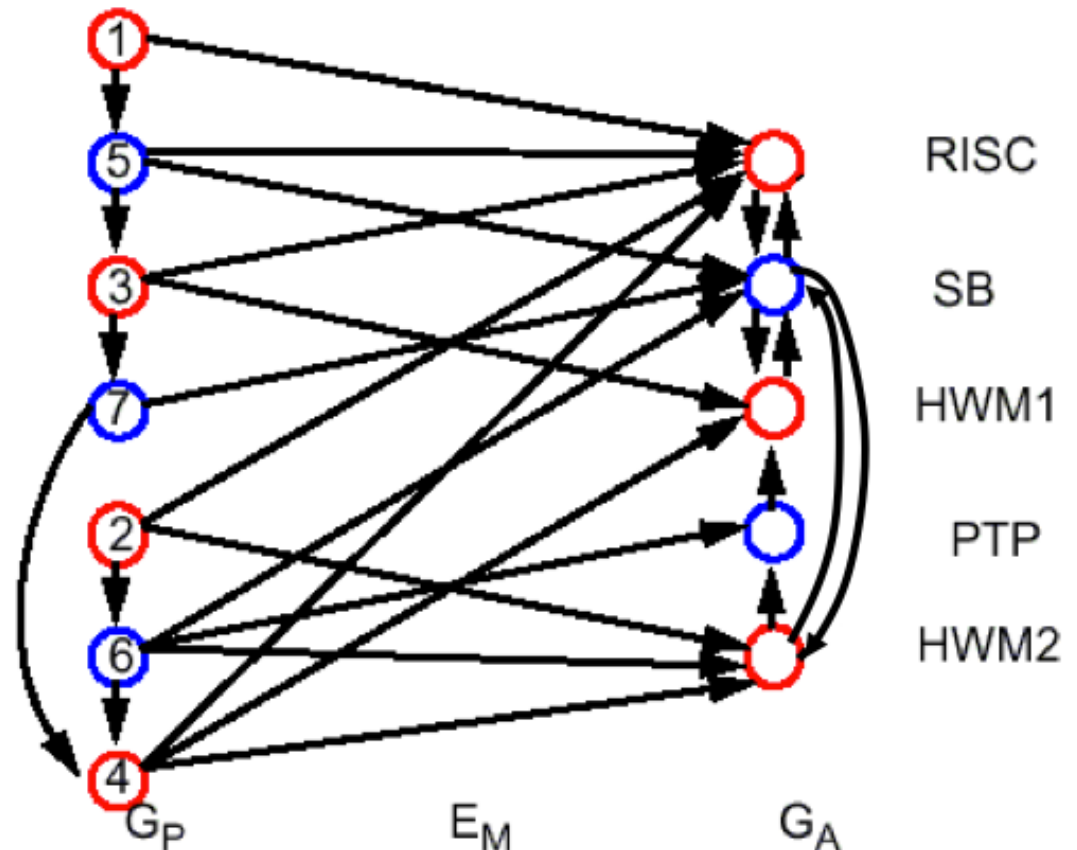
- Definition:

Ein *Spezifikationsgraph* ist ein Graph $G_S=(V_S,E_S)$ bestehend aus einem *Datenflussgraphen* G_P , einem *Architekturgraphen* G_A und *Kanten* E_M .

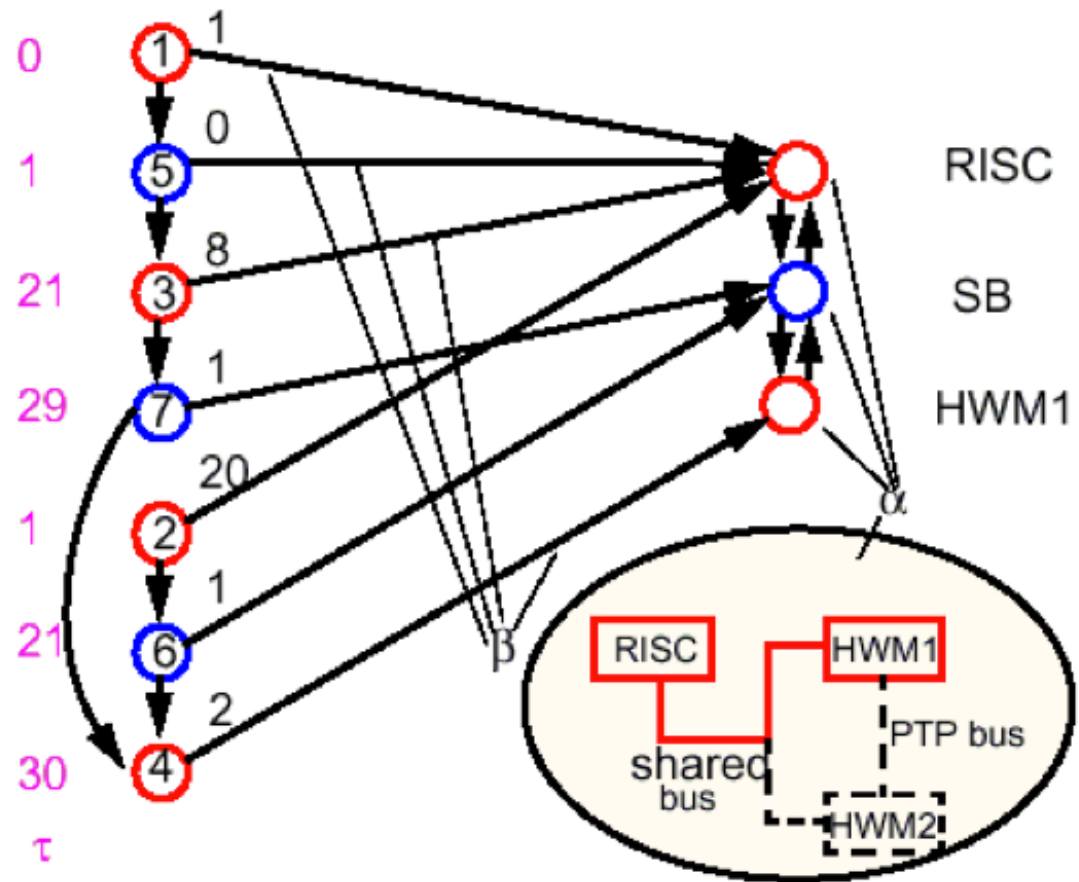
Es gilt:

$$V_S = V_P \cup V_A$$

$$E_S = E_P \cup E_A \cup E_M$$



Beispiel 1: Abbildung



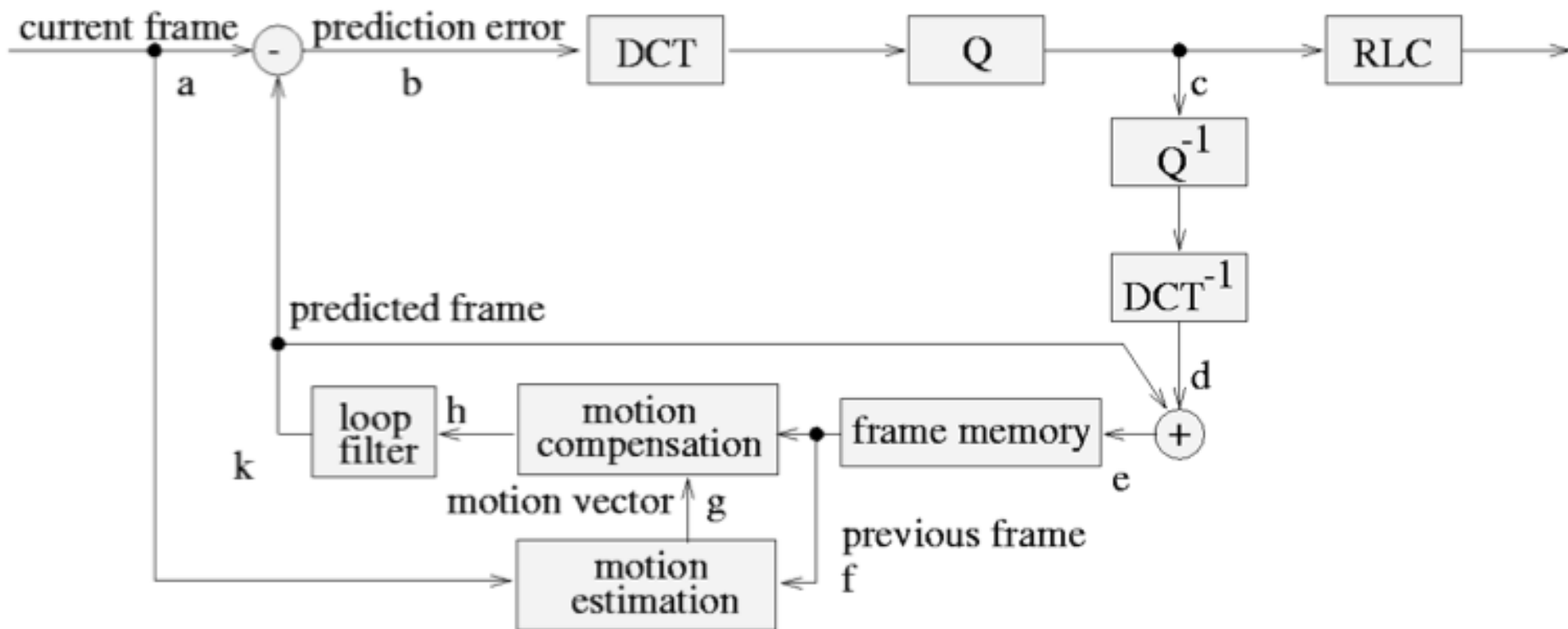
Beispiel 1: Aufgaben

Codierung von (Allokation + Bindung)

- Einfache Codierung
 - Z.B. 1 Bit pro Ressource, eine Variable pro Bindung
 - Einfach implementierbar
 - Viele nicht realisierbare Lösungen
- Codierung und Reparatur
 - Z.B. Einfache Codierung, abgeändert, so dass für jedes $v_p \in V_P$ mindestens ein $v_A \in V_A$ existiert mit einem $\beta(v_P) = v_A$
 - Reduziert Anzahl nicht realisierbarer Lösungen
- Erzeugung der Ausgangspopulation, Mutation
- Rekombination

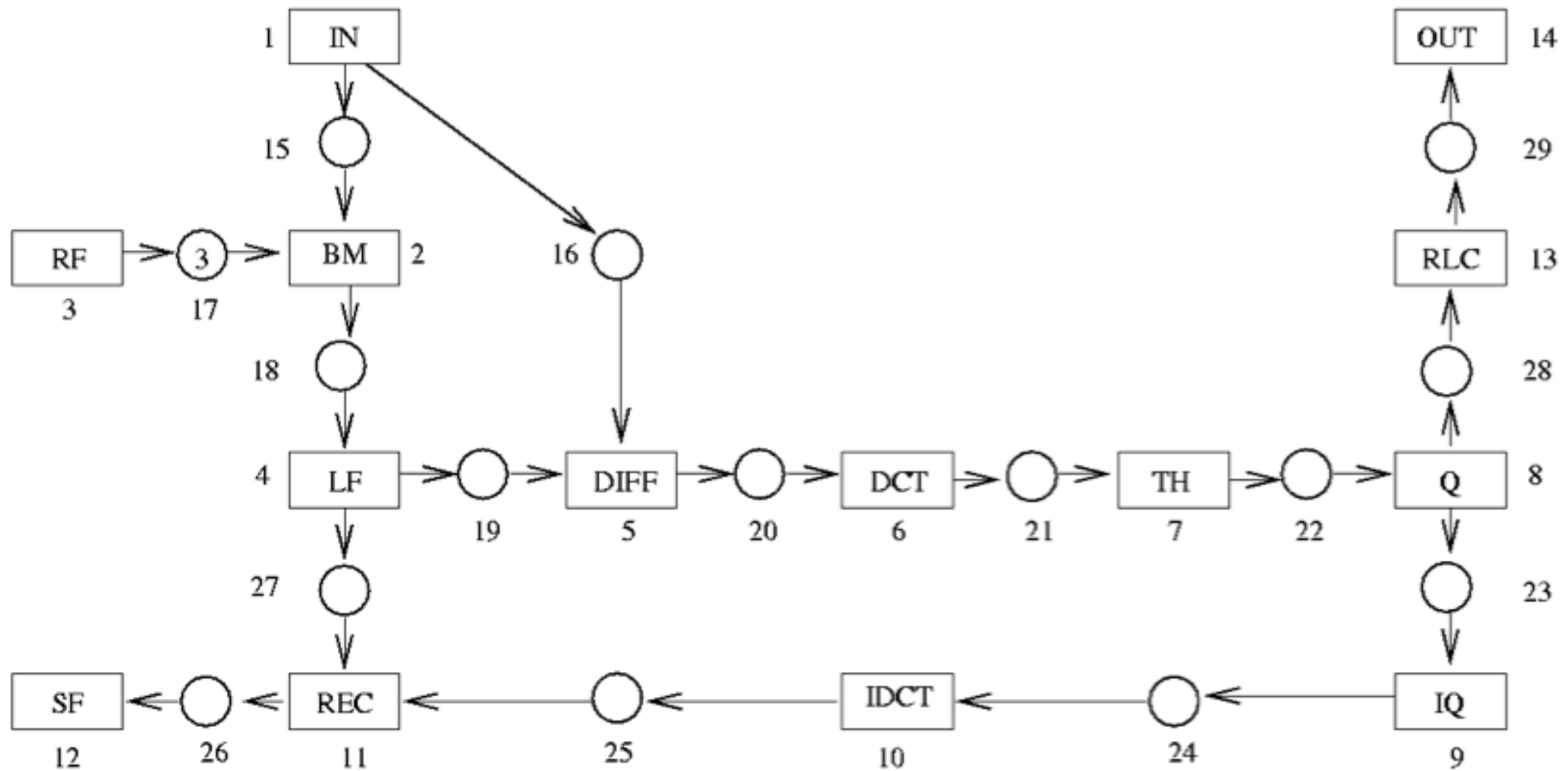
Beispiel 1: Spezifikation

Verhaltensspezifikation eines Videocodes für Videokompression

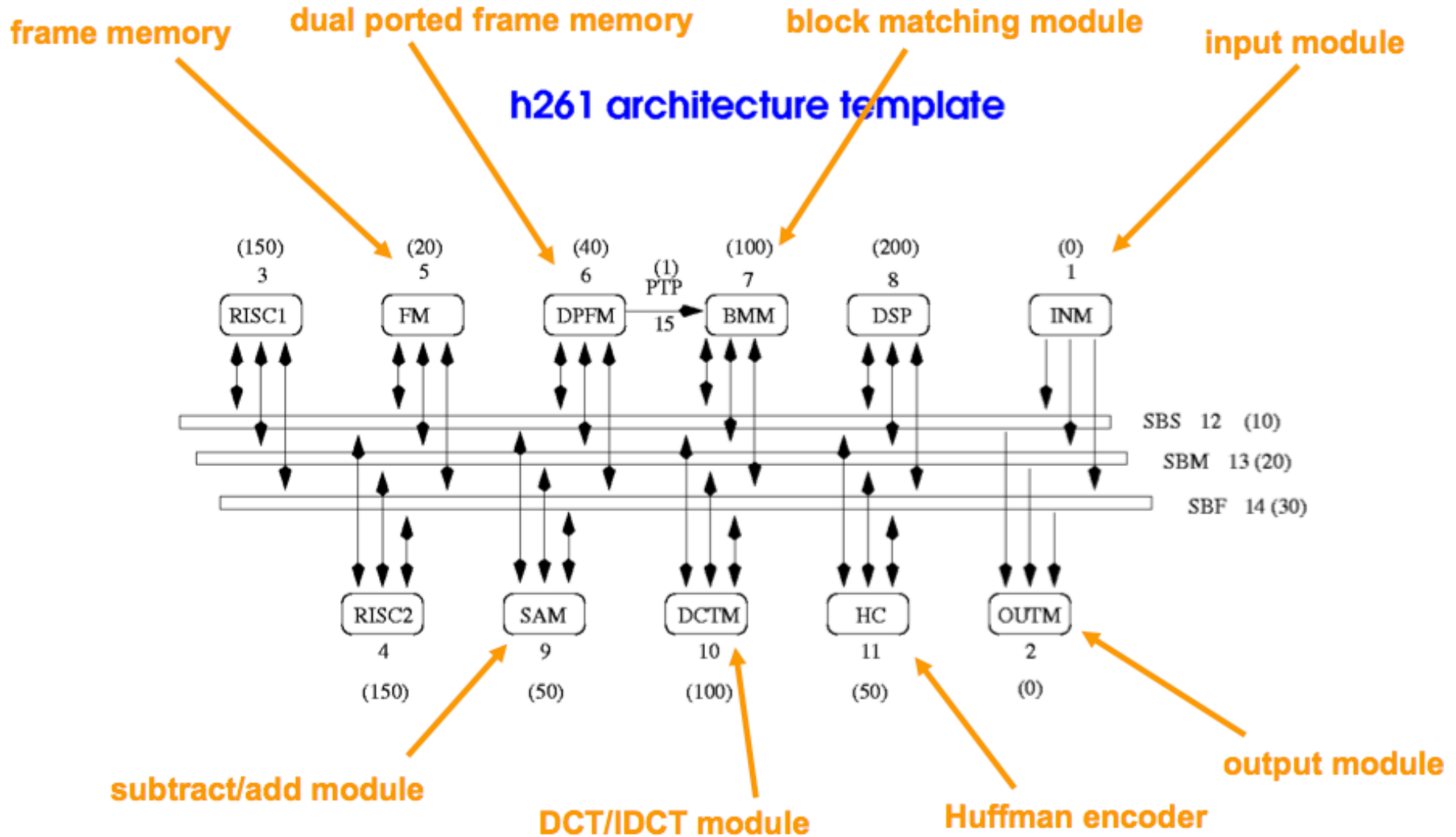


Beispiel 1: Spezifikation

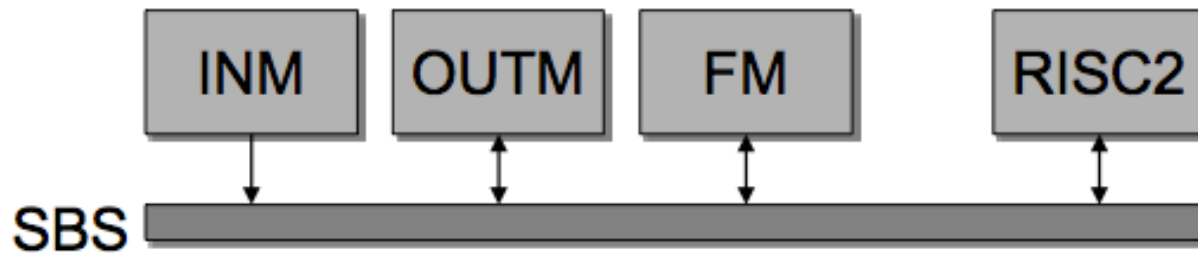
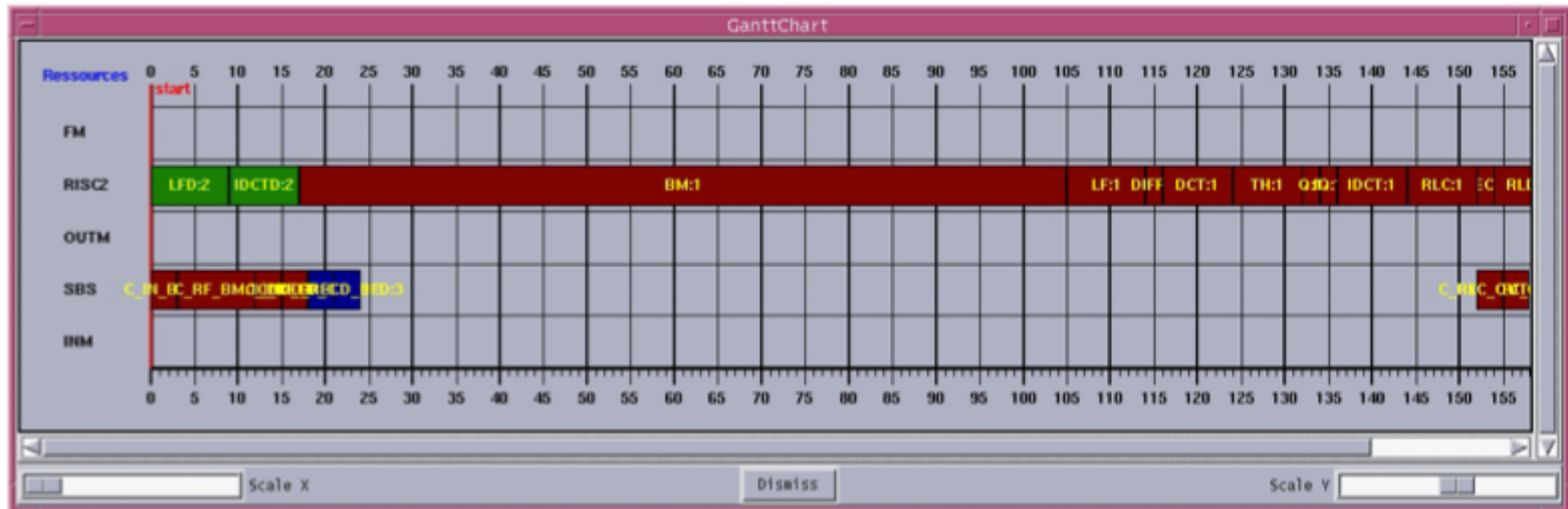
Problemgraph des Videocodierers



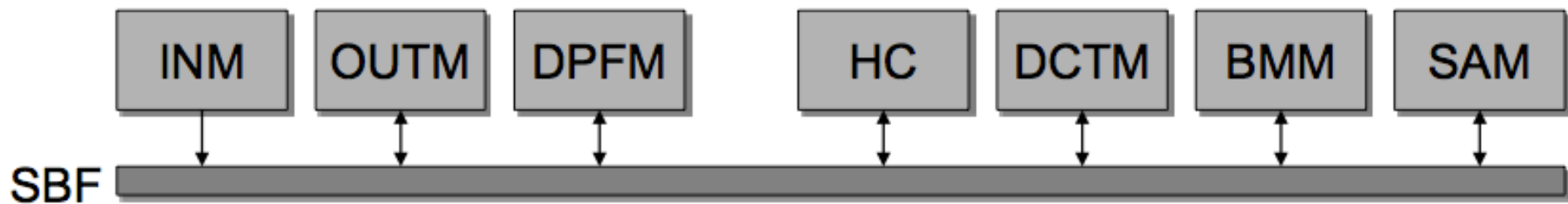
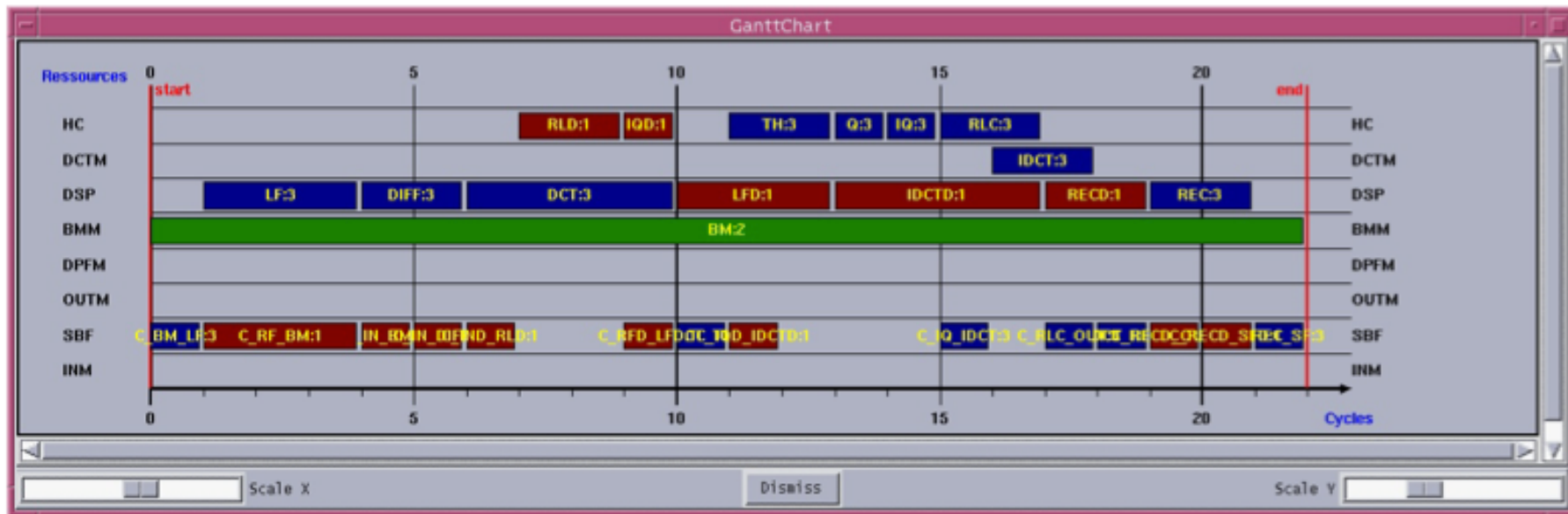
Beispiel 1: Spezifikation



Beispiel 1: Lösung 1



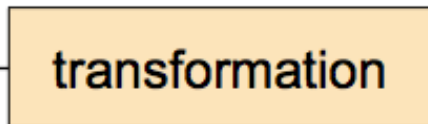
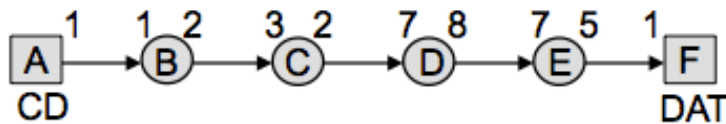
Beispiel 1: Lösung 2



Beispiel 2: Softwaresynthese

synchronous data flow graph

software implementation



Decisions:

① Schedule

② Code generation model

ABABABCCABABA...

Inlining

```

CODE(A)
CODE(B)
CODE(A)
CODE(B)
CODE(C)
  
```

subroutines

```

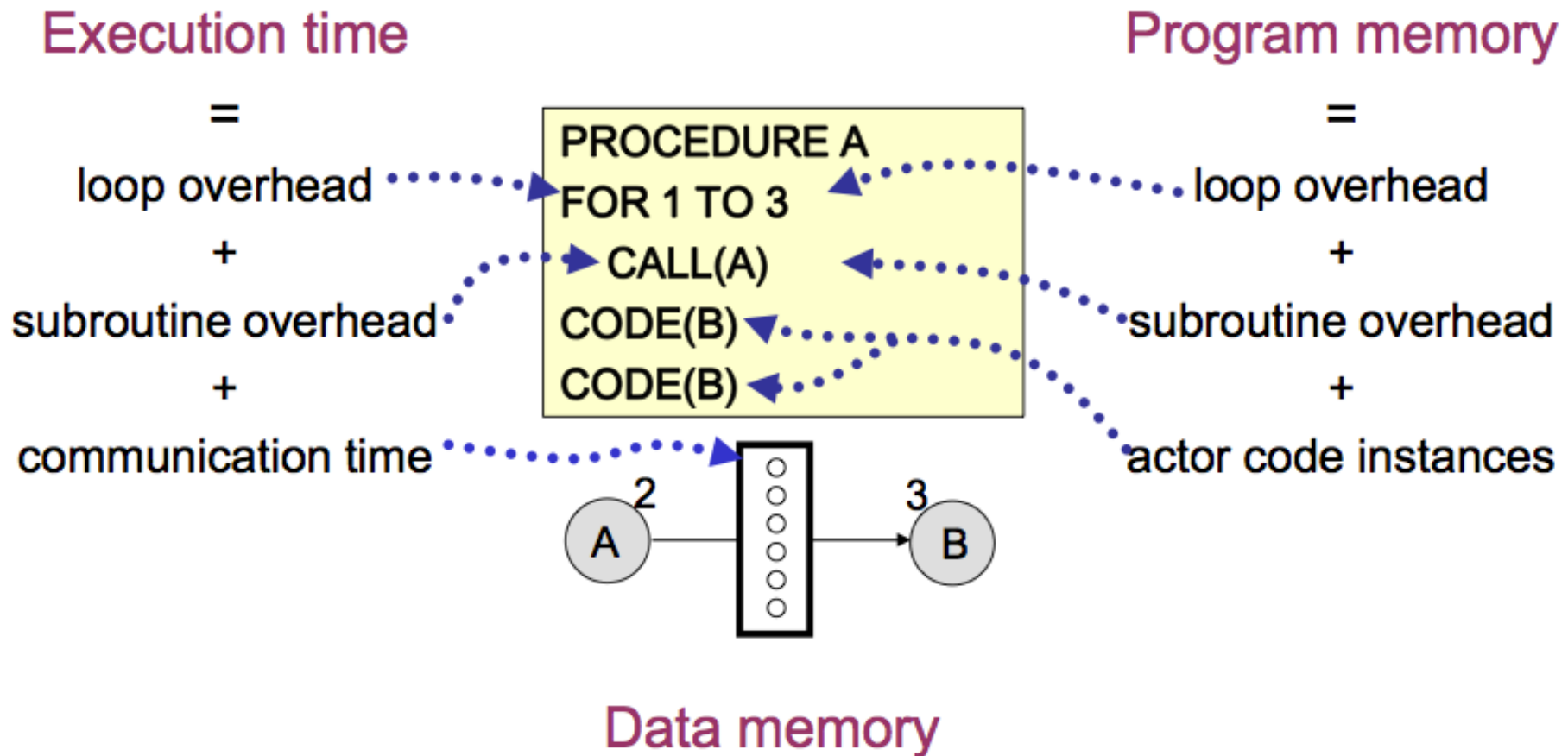
CALL(A)
CALL(B)
CALL(A)
CALL(B)
CALL(C)
  
```

looping

```

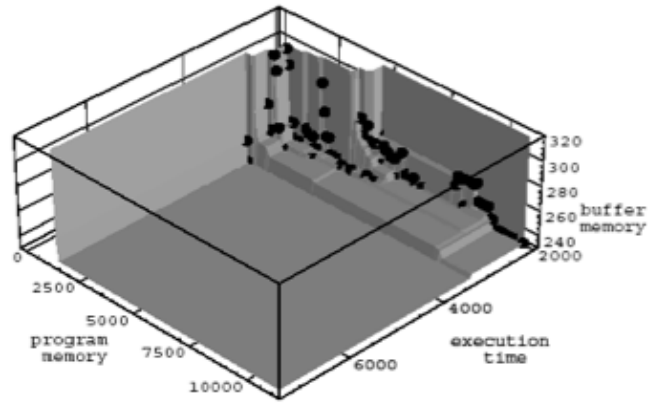
FOR 1 TO 2
  CODE(A)
  CALL(B)
CODE(C)
CODE(A)
  
```

Beispiel 2: Optimierungskriterien

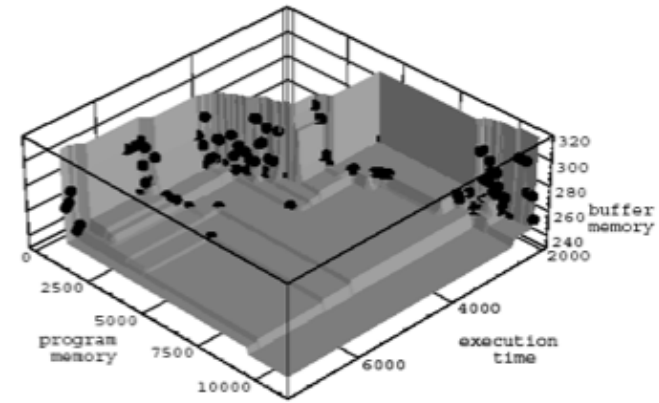


Beispiel 2: Trade-Offs im Pareto-Raum

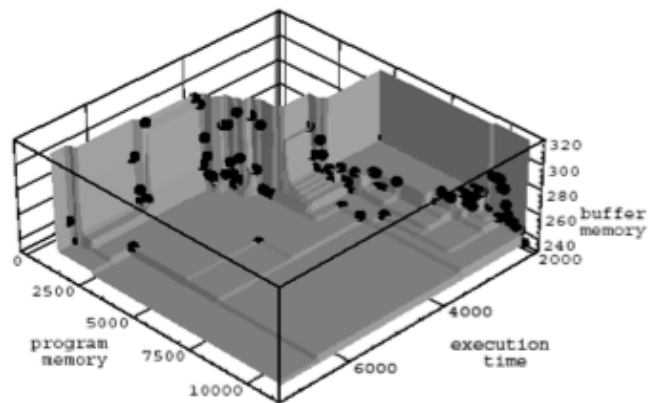
ADSP 2106x



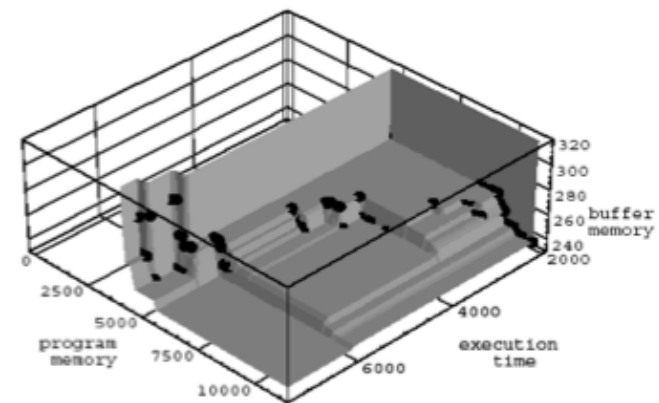
TI TMS320C40



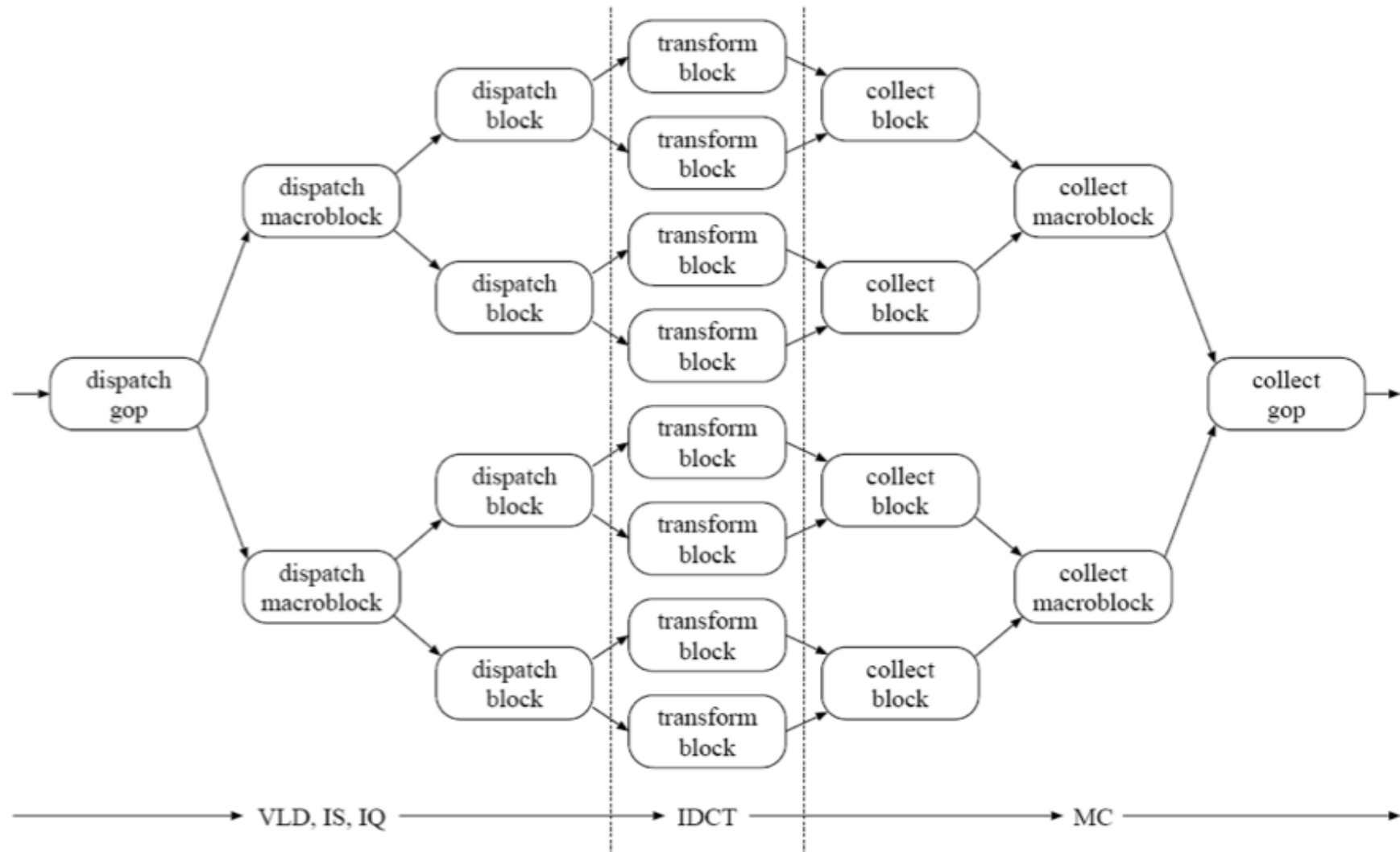
Motorola DSP56k



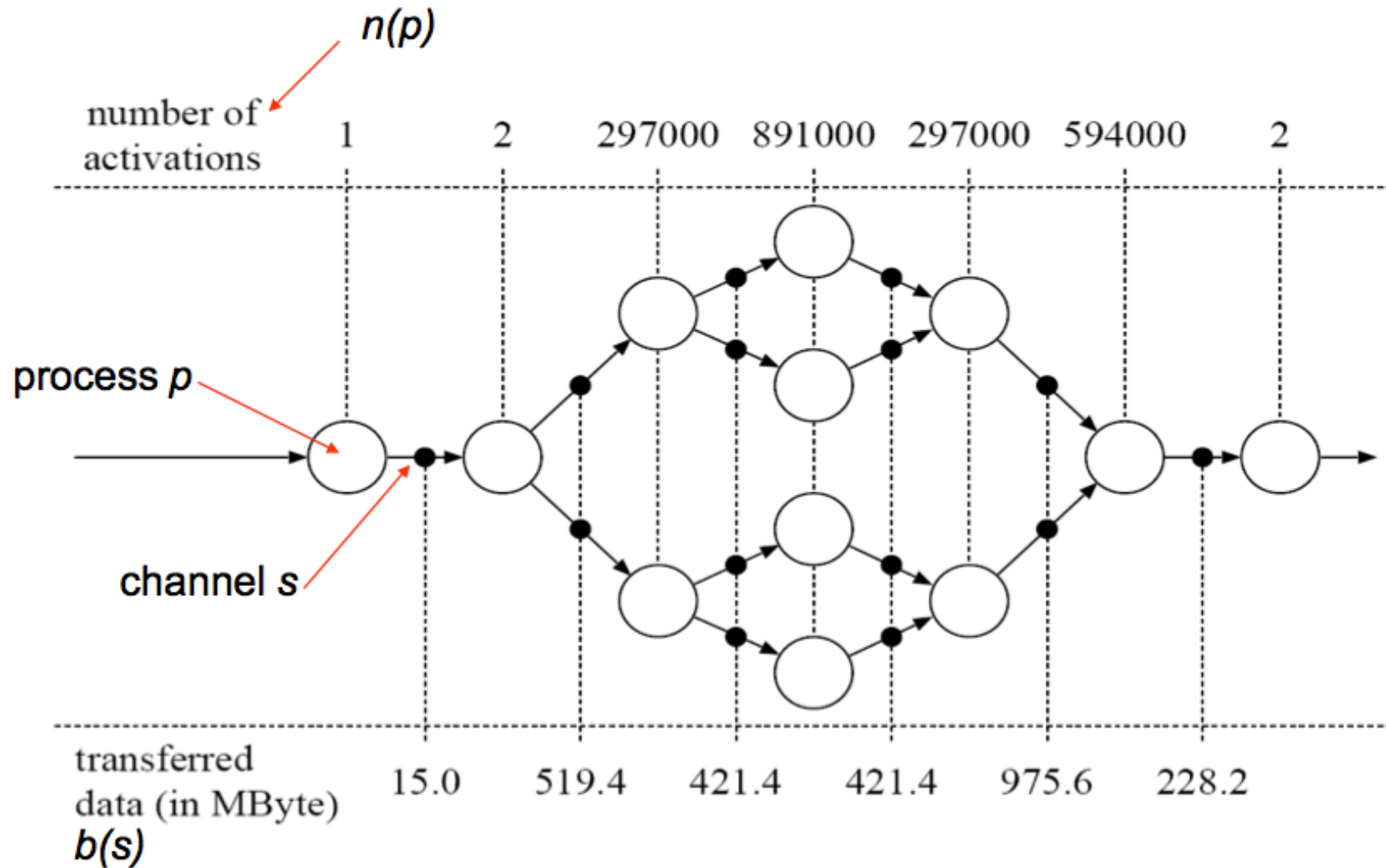
Hypothetical Processor



Beispiel 3: KPN für Motion JPEG Decoder

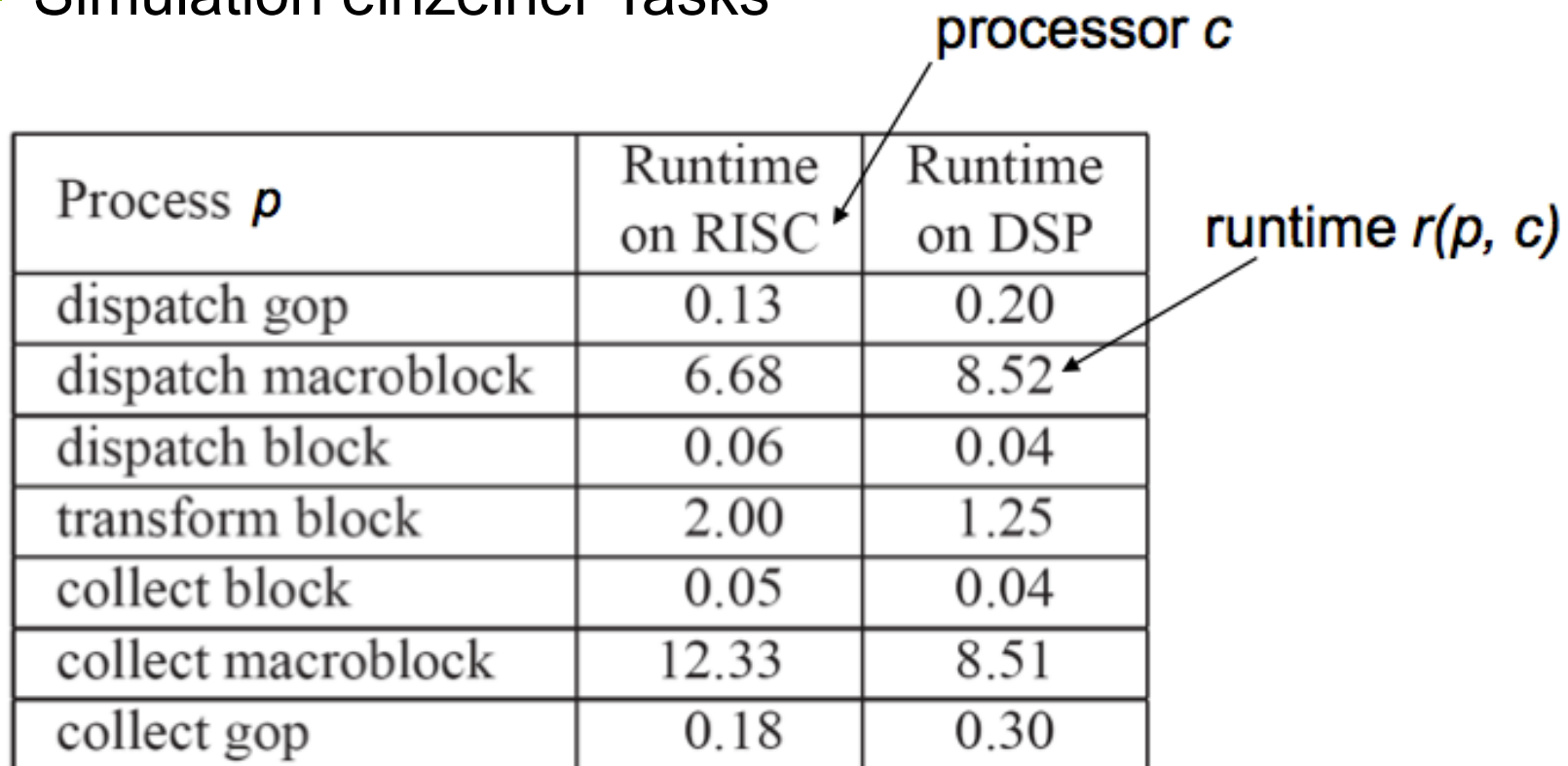


Beispiel 3: Ergebnis der funktionalen Simulation



Beispiel 3: Ergebnis von Plattform-Benchmarks

- Plattform-Benchmarks
 - Kommunikationsbandbreite $t(g)$ der Verbindung g
- Simulation einzelner Tasks



| Process p | Runtime on RISC | Runtime on DSP |
|---------------------|-----------------|----------------|
| dispatch gop | 0.13 | 0.20 |
| dispatch macroblock | 6.68 | 8.52 |
| dispatch block | 0.06 | 0.04 |
| transform block | 2.00 | 1.25 |
| collect block | 0.05 | 0.04 |
| collect macroblock | 12.33 | 8.51 |
| collect gop | 0.18 | 0.30 |

Beispiel 3: Überschlagsrechnung

processor c with worst total runtime

number of activations of process p

runtime of process p on processor c

$$obj_1 = \max_{c \in \mathcal{C}} \left\{ \sum_{\forall p \text{ mapped to } c} n(p) \cdot r(p, c) \right\}$$

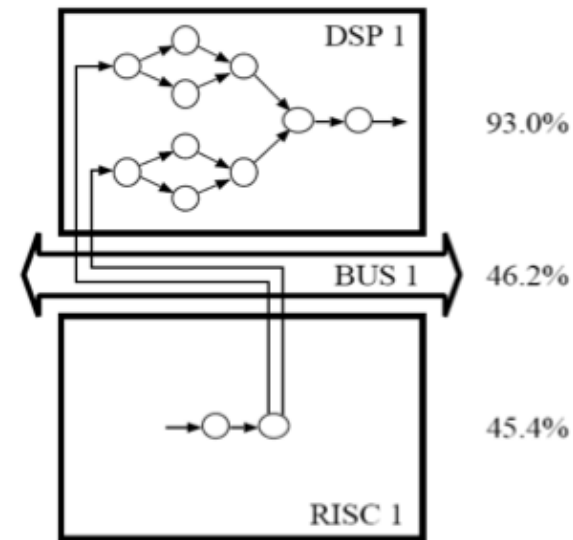
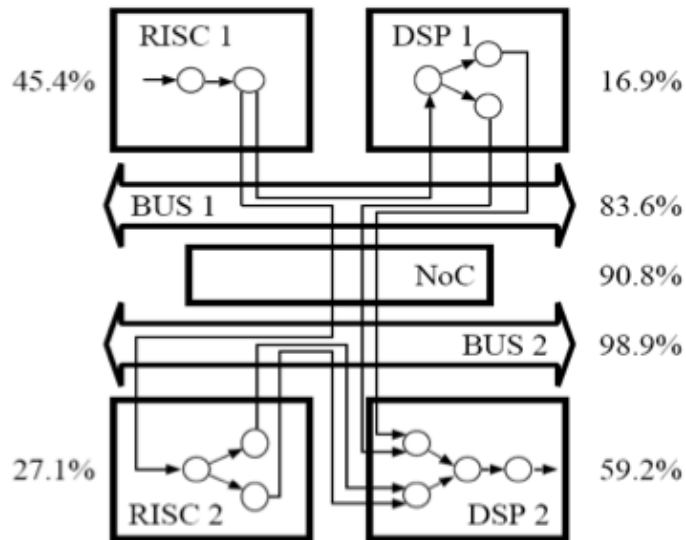
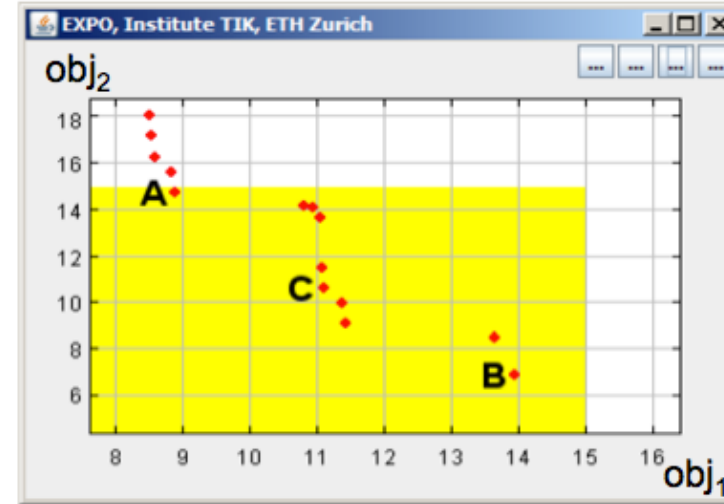
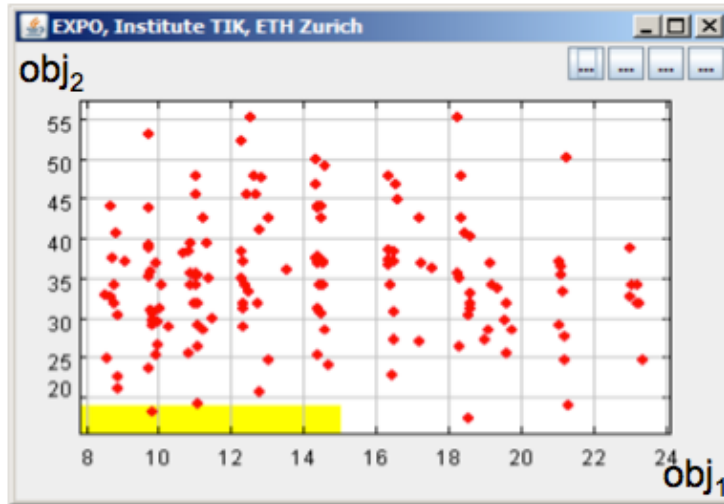
communication link with worst load

communication request from channel s

bandwidth of communication link g

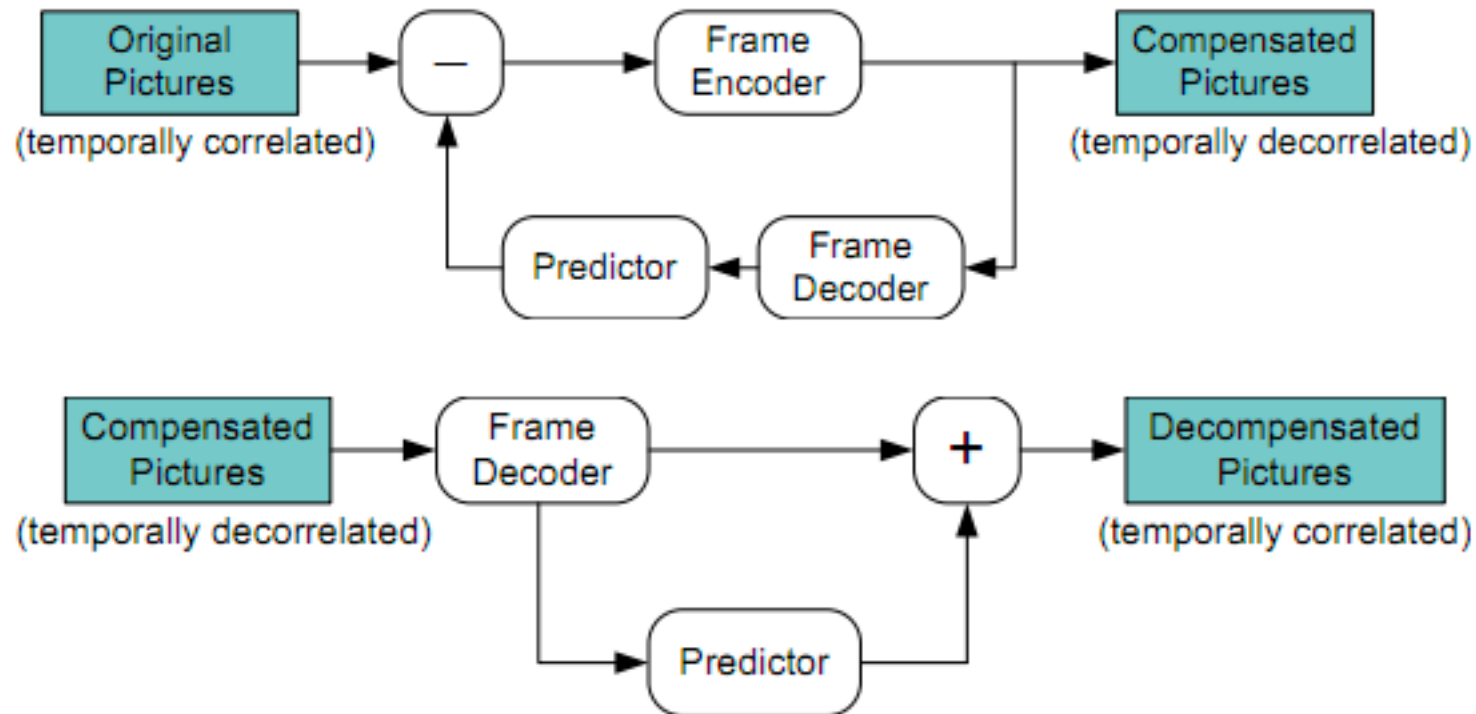
$$obj_2 = \max_{g \in \mathcal{G}} \left\{ \sum_{\forall s \text{ mapped onto } g} \frac{b(s)}{t(g)} \right\}$$

Beispiel 3: Ergebnis der Erkundung



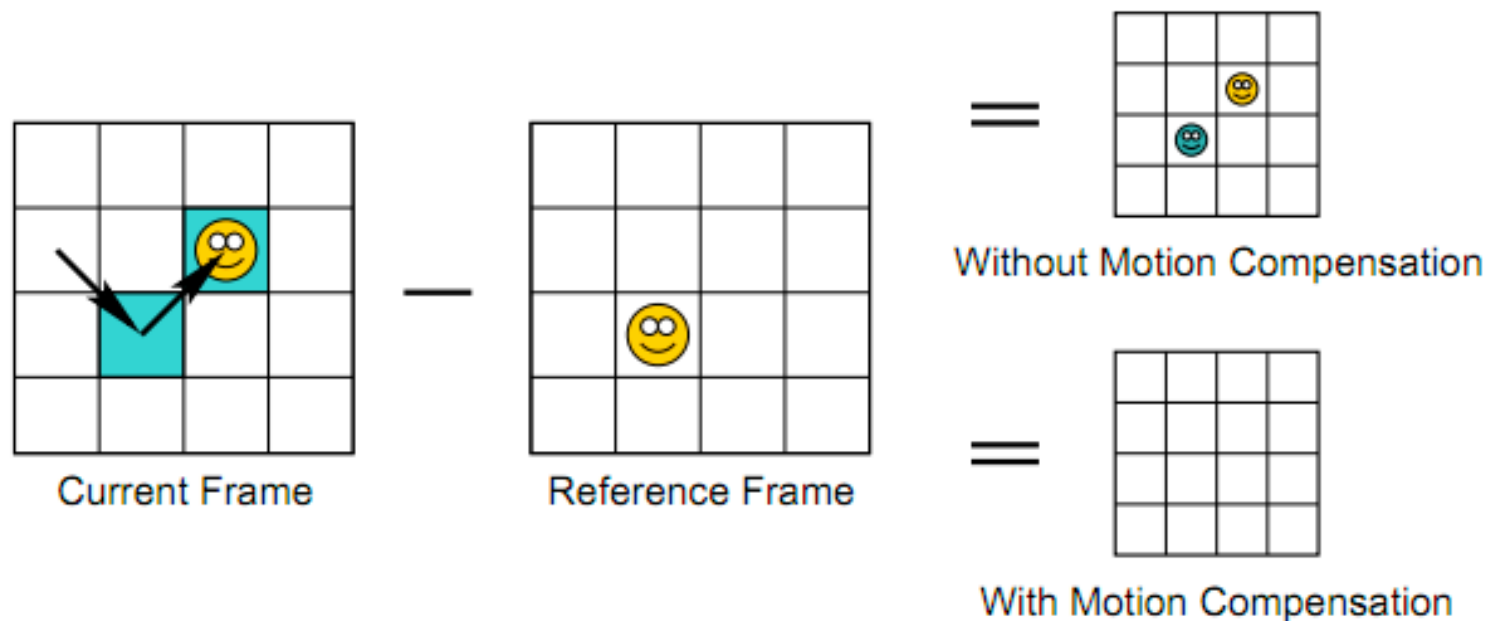
Beispiel 4: MPEG2-Decoder

- Verbreitetes Format für Videoinformationen
- Codierung und Decodierung:



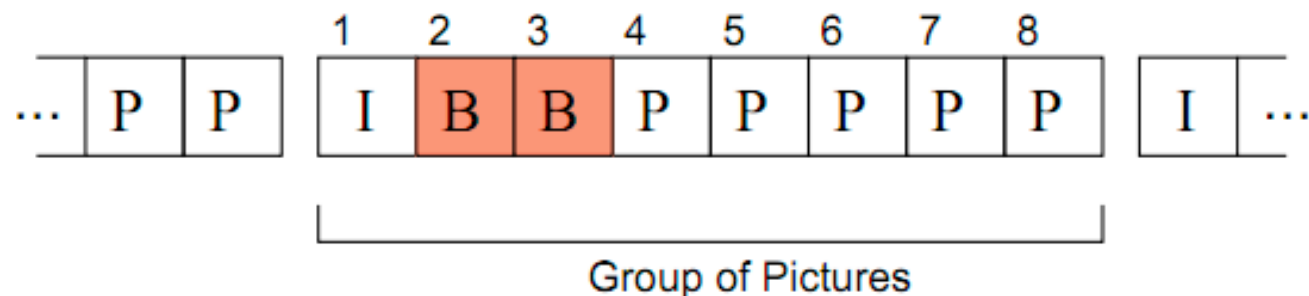
Beispiel 4: MPEG2-Decoder

- Ausnutzung temporalen Redundanzen (Folgeframes)
 - Wenig nützlich bei schnellen Bewegungen
- Ausnutzung von Bewegungsinformationen (motion compensation) zwischen Folgeframes



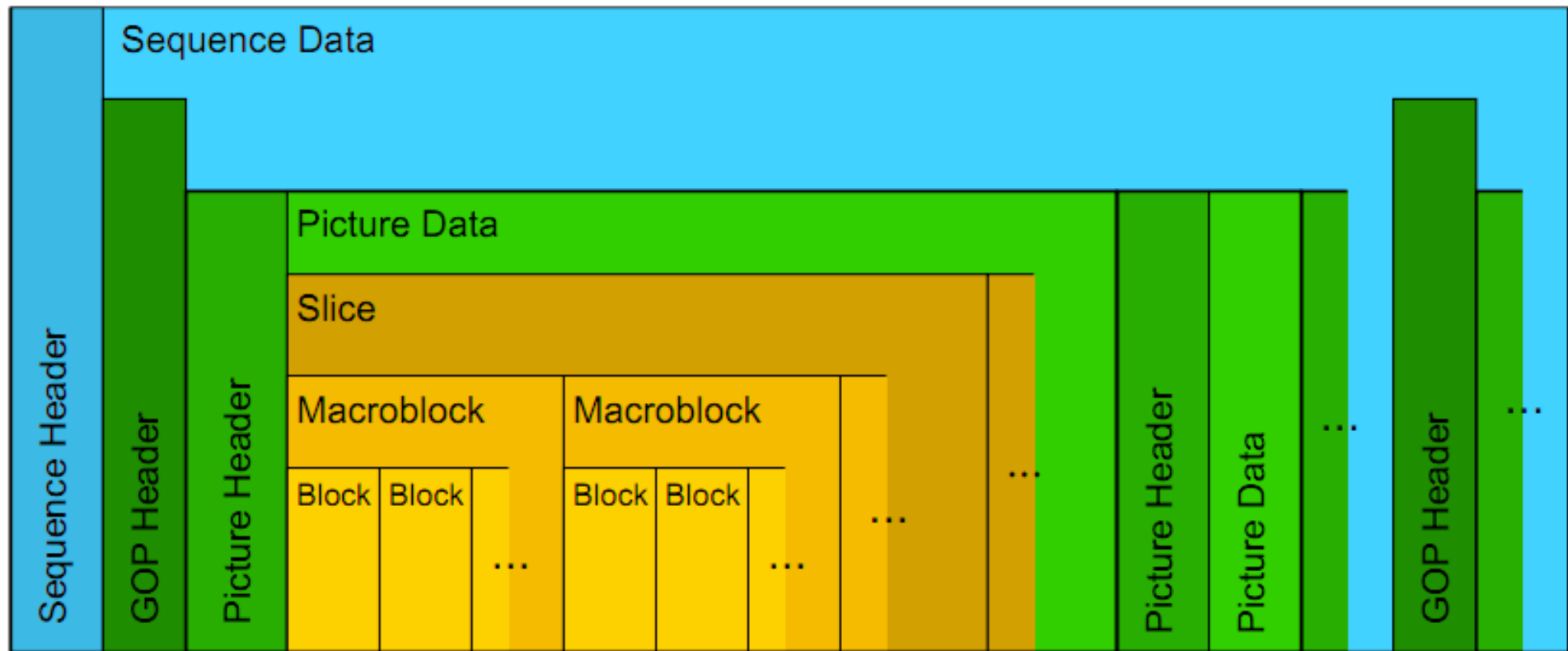
Beispiel 4: MPEG2-Decoder

- Verschiedene Frametypen
 - I-Frames: least compressible but don't require other video frames to decode
 - P-Frames: can use data from previous frames to decompress, more compressible than I-frames
 - B-Frames: can use both previous and forward frames for data reference to get the highest amount of data compression
- Group of Pictures (GOP): 1 I-Frame + n B-Frames + m P-Frames:



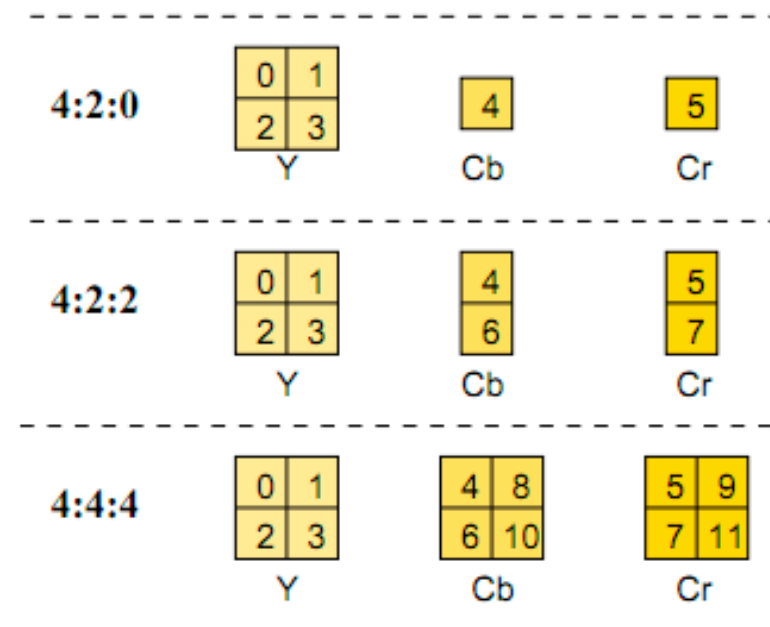
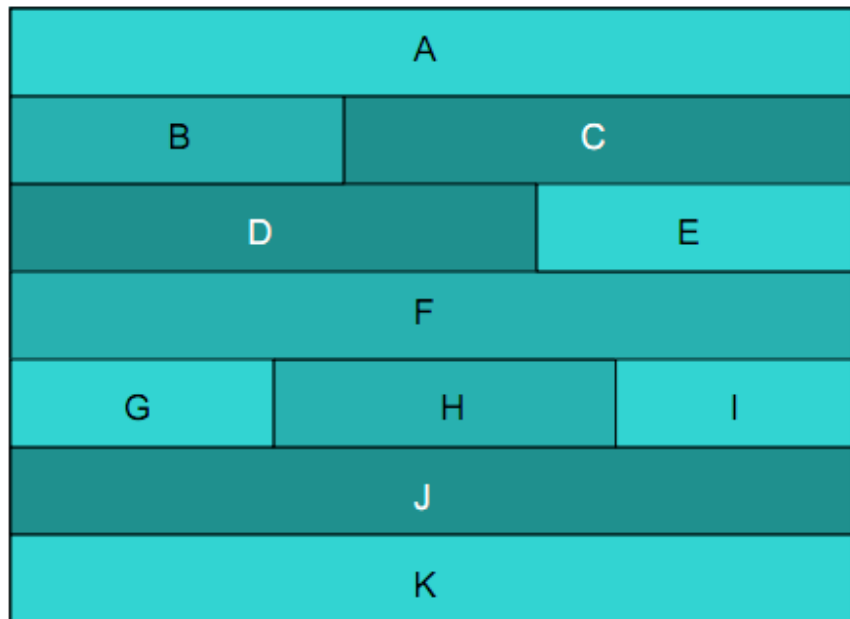
MPEG2-Decoder: Datenstruktur

- Struktur des MPEG2-Bitstroms:



MPEG2-Decoder: Details des Datenstroms

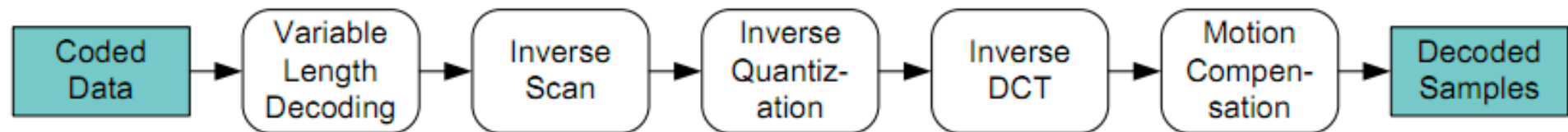
- Slices: Menge von Makroblöcken einer Zeile
- Makroblock: Information für motion compensation



MPEG2-Decoder: Ablauf im Detail

Decodiervorgang: Frequenzbereich

- Konvertieren der Eingangsdaten (Laufängencodiert) in Bewegungsvektoren und DCT-Koeffizienten
 - Inverse Scan transformiert 1-dim. Strom in 2D-Array von Koeffizienten
 - Inverse Quantization multipliziert Koeffizienten-Array mit Quantisierungsparameter und prüft Sättigung
- Luminanz-/Chrominanzwerte
- Inverse DCT: Transformation Frequenz- zu Bildbereich
 - Motion Compensation (aufwändigster Schritt)



MPEG2-Decoder: Dateistruktur des Quellcodes

Referenzimplementierung der MPEG Software Simulation
Group (MSSG): mpeg2dec

Dateistruktur:

| | |
|-------------------------|---|
| <code>mpeg2dec.c</code> | main() function, initialization, command-line option processing |
| <code>getpic.c</code> | picture decoding routines |
| <code>motion.c</code> | motion vector decoding routines |
| <code>recon.c</code> | motion compensation routines |
| <code>gethdr.c</code> | header decoding routines |
| <code>getblk.c</code> | DCT coefficient decoding routines |
| <code>getbits.c</code> | bit level routines |
| <code>getvlc.c</code> | variable length decoding routines |
| <code>idct.c</code> | fast inverse discrete cosine transform |
| <code>idctref.c</code> | double precision inverse discrete cosine transform |
| <code>global.h</code> | declaration of global variables |

MPEG2-Decoder: Codestruktur

```
main() {
  <open input file>
  initialize_decoder();
  decode_bitstream() {
    for (all videosequences) {
      for (all pictures) {
        picture_data() {
          for (all slices) {
            for (all macroblocks) {
              <get macroblock mode>
              <decode motion vectors>
              <get macroblock pattern>
              for (all blocks) {
                <decode DCT coefficients>
              }
            }
          }
        }
      }
    }
  }
  motion_compensation() {
    <form predictions>
    for (all blocks) {
      <perform inverse DCT>
      <add prediction and coefficient data>
    }
  } /* end of motion_compensation() */
} /* end of picture_data() */
frame_reorder();
}
} /* end of decode_bitstream() */
<close input file>
}
```

MPEG2-Decoder: Parallelisierung

Generischer Ansatz:

- Partitionierung
- Kommunikationsanalyse
- Agglomeration (Granularitätskontrolle) und
- Abbildung

MPEG2-Decoder: Parallelisierung

Partitionierung

- Aufteilung von Kommunikation und Daten in kleinere Tasks
- *Domain decomposition:*
 - Erst Aufteilung der Daten, dann Zuweisung von Berechnungen
 - Ergibt Datenparallelität
- *Functional decomposition:*
 - Erst Aufteilung der Berechnung, dann Zuweisung der zugehörigen Daten
 - Ergibt Pipeline-Parallelität

MPEG2-Decoder: Parallelisierung

Kommunikationsanalyse

- Nach der Aufteilung muss die Kommunikation zwischen den einzelnen Tasks analysiert werden
- Zugehörige Datenstrukturen werden definiert

Agglomerationsphase

- Evaluation des Entwurfs
- Kombinierung von Tasks, wenn dies Leistung steigert oder Kosten senkt

Abbildung

- Abbildung von Tasks auf Prozessoren
- Maximierung der Prozessorauslastung
- Minimierung der Kommunikationskosten

MPEG2-Decoder: Parallelisierung

Modifikationen für DOL-basierte Parallelisierung des MPEG2-Decoders

- Manuelle Abbildungsstufe fällt weg: Aufgabe von DOL
- Komplexität und Verschachtelung des MPEG2-Decoders erfordert verbesserten Parallelisierungsansatz
 - Aufteilung des Algorithmus in *Abstraktionsebenen*: Dateneinheit, Recheneinheit und erzeugtes Berechnungsergebnis
 - Untersuchung von *domain decomposition* und *functional decomposition* für jede Abstraktionsebene
 - Evaluation durch Kommunikationsanalyse
 - Je weniger Inter-Prozess-Kommunikation, desto besser

MPEG2-Decoder: Abstraktionsebenen

1 System Level

Data unit: MPEG-2 bitstream

Demultiplex and decode video, audio and data stream

Decoded data unit: stream of decoded pictures, audio samples and data

2 Videosequence Level

Data unit: Coded video sequence bitstream

Extract header information, decode GOPs (if available) and pictures

Decoded data unit: Decoded videosequence (a number of decoded pictures)

3 Picture Level

Data unit: Coded picture bitstream

Extract header information and decode slices

Decoded data unit: Decoded picture (raw 8-bit RGB or YUV data)

MPEG2-Decoder: Abstraktionsebenen

4 Slice Level

Data unit: Coded slice bitstream

Extract header information and decode macroblocks

Decoded data unit: Decoded slice (one 16 pels wide row of a picture)

5 Macroblock Level

Data unit: Coded macroblock bitstream

Variable length decoding, block decoding and motion compensation

Decoded data unit: Decoded MB (a 16×16 pels large section of a picture)

6 Block Level

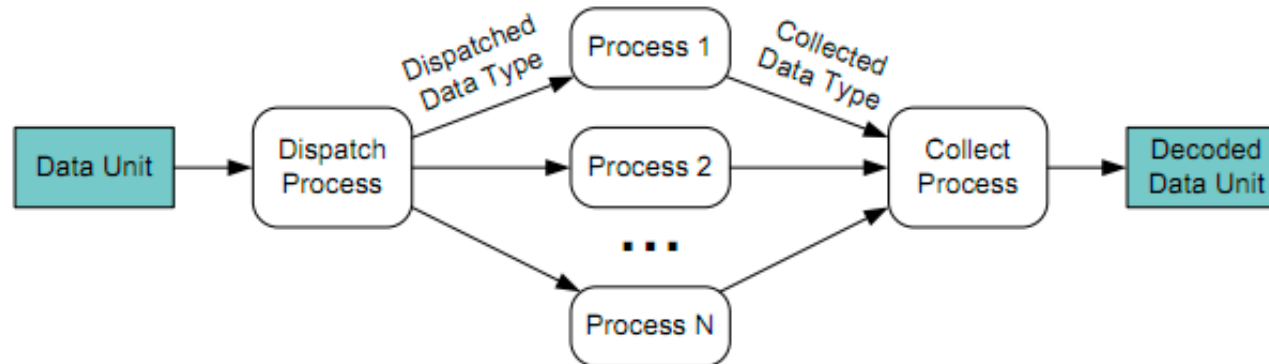
Data unit: Coded block bitstream (decoded DCT coefficients)

Inverse Scan, Inverse Quantization, Inverse DCT

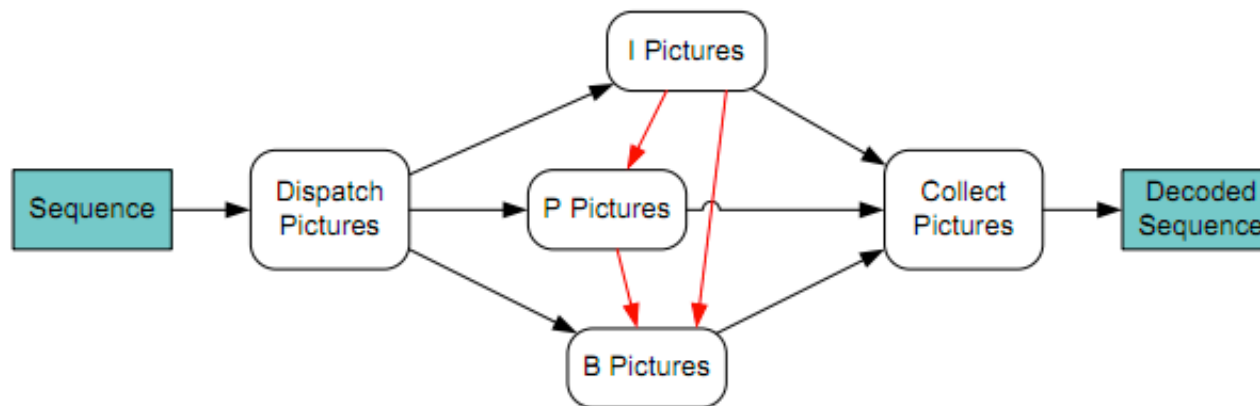
Decoded data unit: Decoded block (8×8 chrominance or luminance values)

MPEG2-Decoder: Domain decomposition

- Genereller Ablauf der *domain decomposition*:



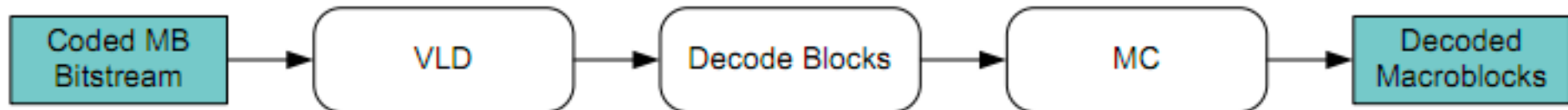
- Realisierung auf Bildebene:



MPEG2-Decoder: Domain decomposition

Makroblock-Ebene:

- Domain decomposition
 - Anzahl der Blöcke in Makroblock bekannt
 - Abhängig von Formatinformation im Header: 6, 8, 12
- Functional decomposition
 - Berechnung in drei Stufen: variable length decoding (VLD) , block decoding und motion compensation (MC)
- Resultierende Pipeline auf Makroblock-Ebene:

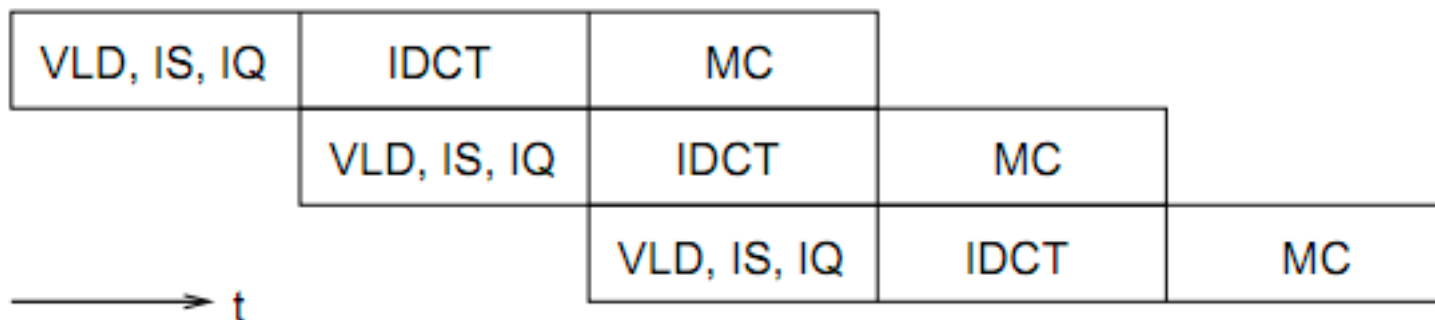


MPEG2-Decoder: Domain decomposition

Gewählte domain decompositions:

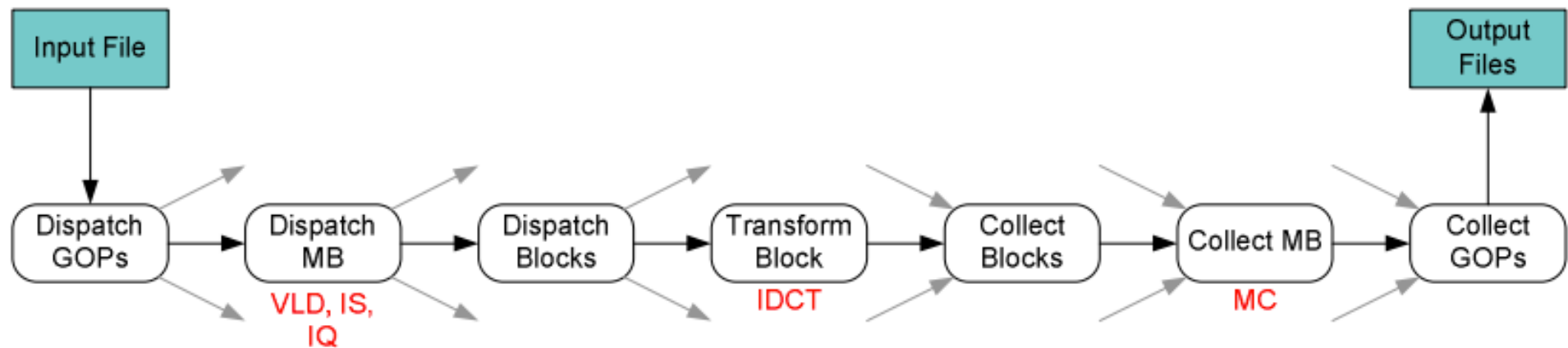
-
- | | | |
|---|-------------------|--|
| 1 | GOP | N_1 groups of pictures are processed in parallel |
| 2 | Macroblock | N_2 macroblocks are processed in parallel |
| 3 | Block | N_3 blocks are processed in parallel |
-

Struktur der Pipeline:



MPEG2-Decoder: Prozessnetzwerk

Resultierendes Prozessnetzwerk:



MPEG2-Decoder: Prozessnetzwerk

Ausschnitt der XML-Definition des Prozessnetzwerks:

```
<!-- N1 is the number of GOPs processed in parallel -->
<variable name="N1" value="2" />

<!-- N2 is the number of macroblocks processed in parallel -->
<variable name="N2" value="2" />

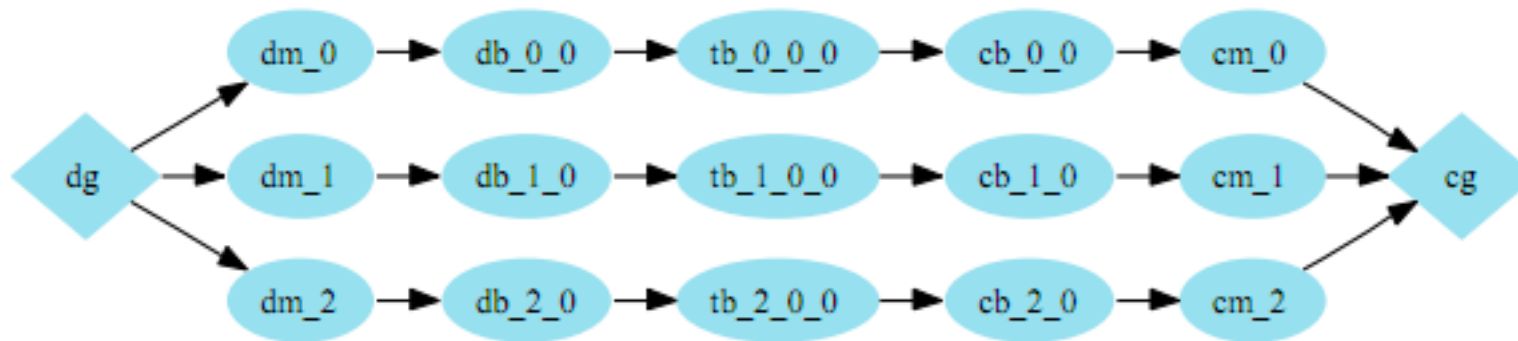
<!-- N3 is the number of blocks processed in parallel -->
<variable name="N3" value="2" />

<!-- instantiate processes -->
<process name="dispatch_gops">
  <iterator variable="i" range="N1">
    <port type="output" name="out">
      <append function="i" />
    </port>
  </iterator>
  <source type="c" location="dispatch_gops.c" />
</process>
(...)
```

MPEG2-Decoder: Parameter

Parametrisierung

| | | |
|---|-------------------|--|
| 1 | GOP | N_1 groups of pictures are processed in parallel |
| 2 | Macroblock | N_2 macroblocks are processed in parallel |
| 3 | Block | N_3 blocks are processed in parallel |

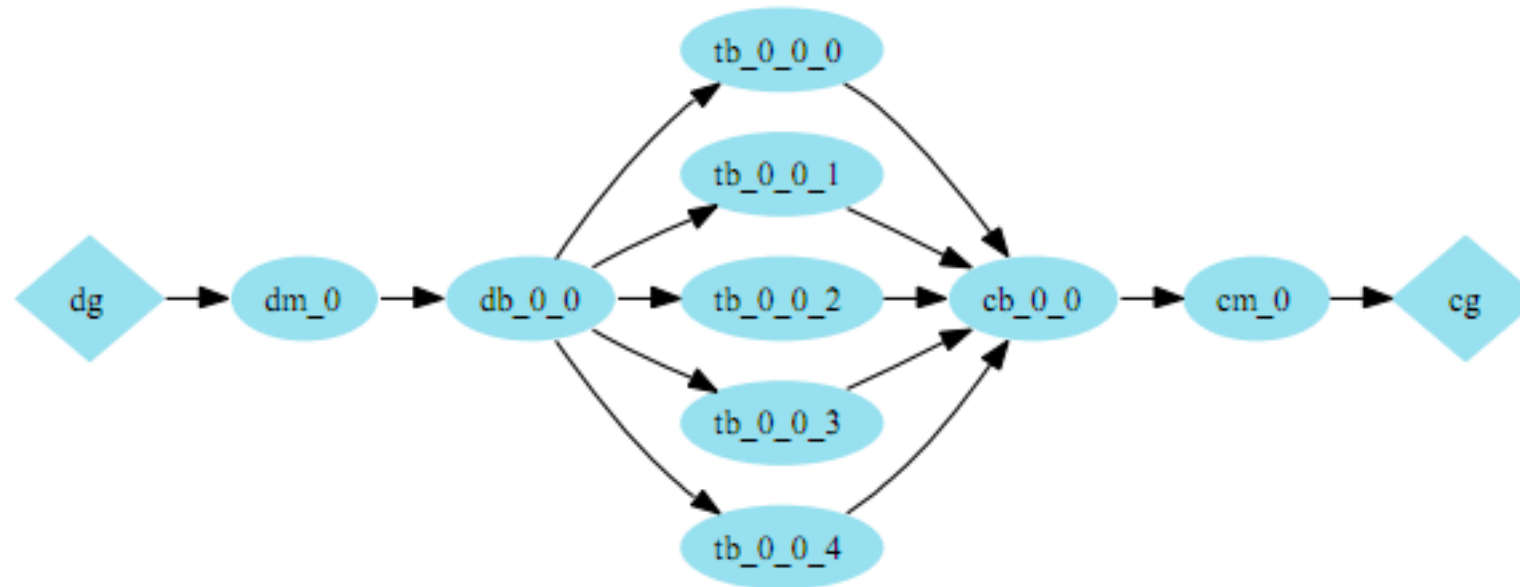


a) $N_1 = 3, N_2 = 1, N_3 = 1$

MPEG2-Decoder: Parameter

Parametrisierung

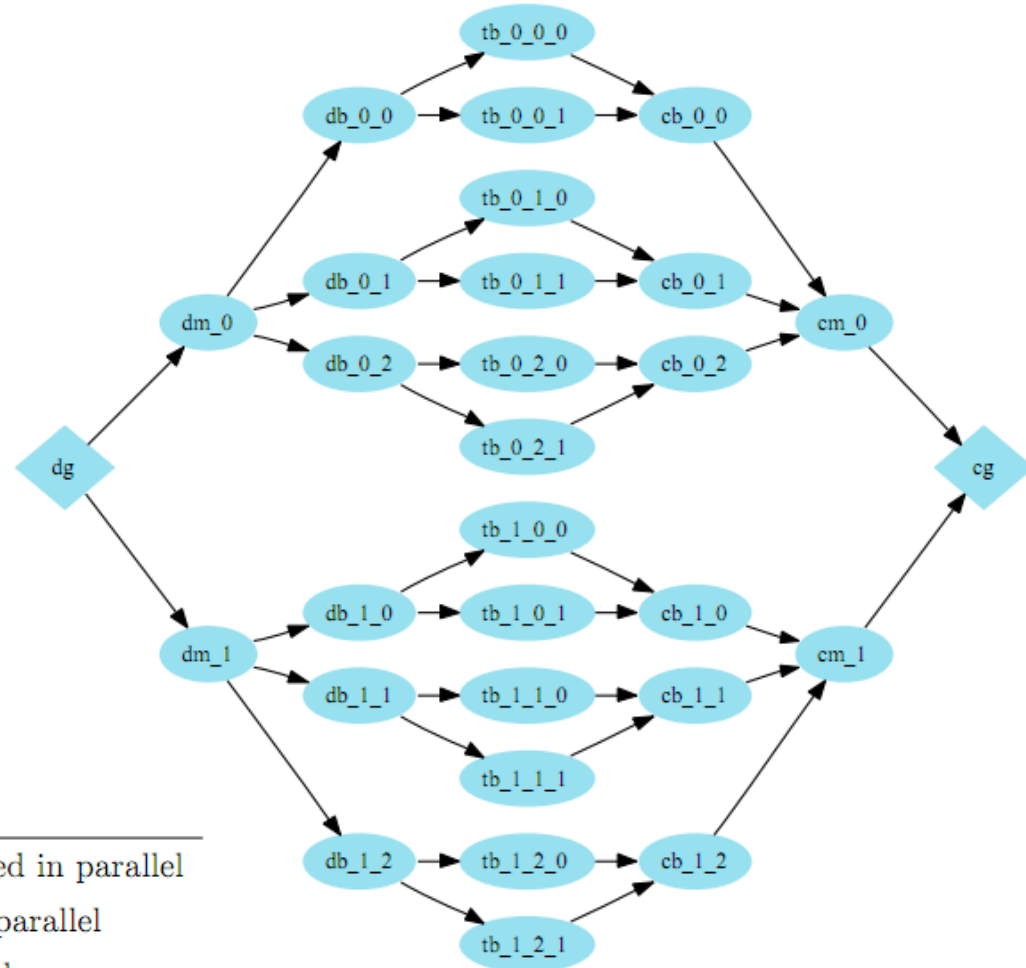
| | | |
|---|-------------------|--|
| 1 | GOP | N_1 groups of pictures are processed in parallel |
| 2 | Macroblock | N_2 macroblocks are processed in parallel |
| 3 | Block | N_3 blocks are processed in parallel |



b) $N_1 = 1, N_2 = 1, N_3 = 5$

MPEG2-Decoder: Parameter

Parametrisierung



- | | | |
|---|-------------------|--|
| 1 | GOP | N_1 groups of pictures are processed in parallel |
| 2 | Macroblock | N_2 macroblocks are processed in parallel |
| 3 | Block | N_3 blocks are processed in parallel |

c) $N_1 = 2, N_2 = 3, N_3 = 2$

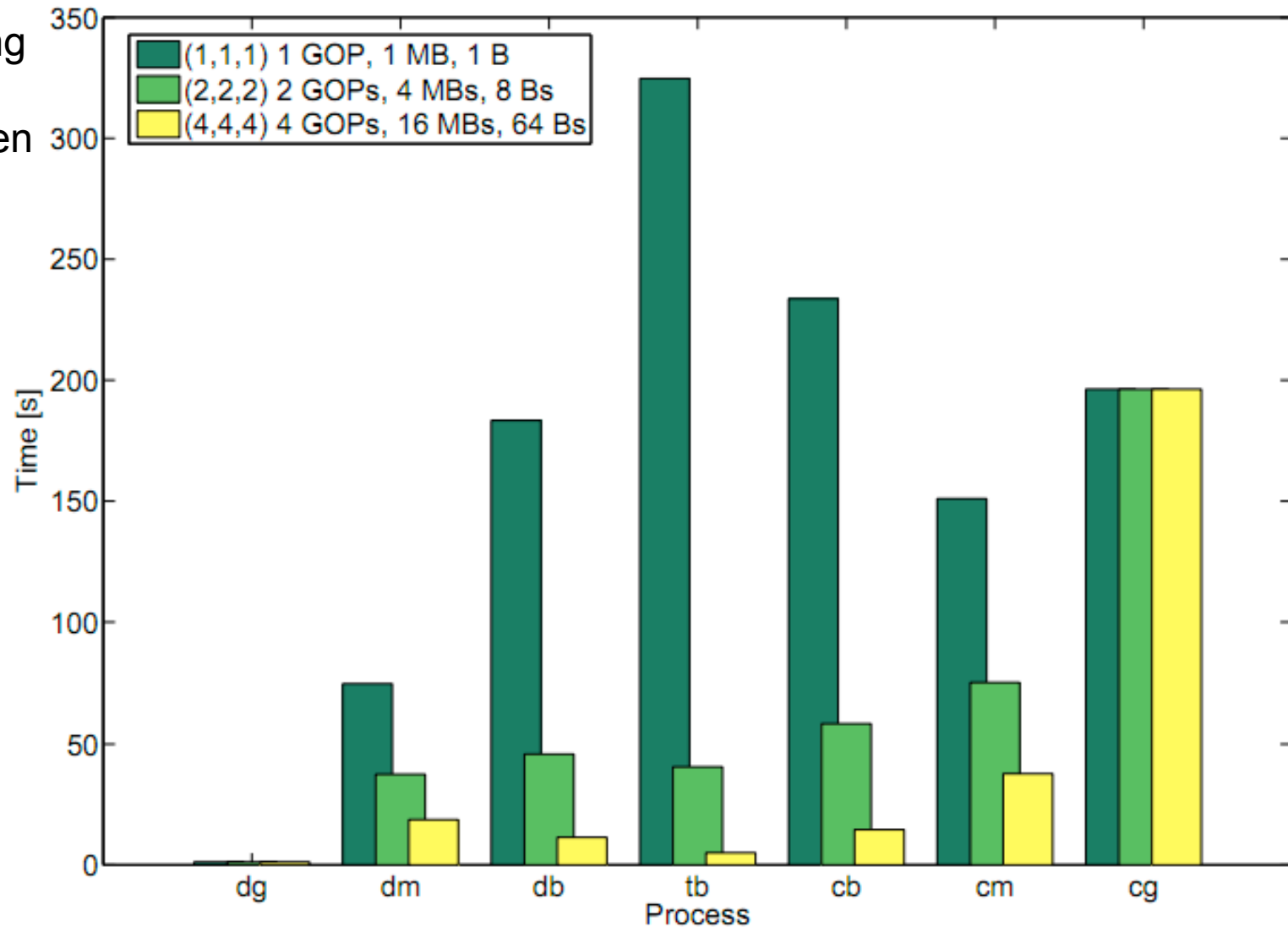
MPEG2-Decoder: Profiling

- total ms per call: time spent in the fire function, including all sub-functions
- calls: total number of calls
- Laufzeit: ms per call * calls

| cumulative | self | | self | total | |
|------------|---------|---------|---------|---------|-----------------------------------|
| seconds | seconds | calls | ms/call | ms/call | name |
| (...) | | | | | |
| 2455.78 | 0.48 | 1910212 | 0.00 | 0.17 | transform_block_fire__FP8_process |
| 2457.83 | 0.28 | 359487 | 0.00 | 0.42 | collect_mb_fire__FP8_process |
| 2458.98 | 0.21 | 359487 | 0.00 | 0.65 | collect_blocks_fire__FP8_process |
| 2461.92 | 0.10 | 359487 | 0.00 | 0.51 | dispatch_blocks_fire__FP8_process |
| 2464.10 | 0.00 | 30 | 0.00 | 41.58 | dispatch_gops_fire__FP8_process |
| 2464.10 | 0.00 | 30 | 0.00 | 2500.27 | dispatch_mb_fire__FP8_process |
| 2464.10 | 0.00 | 27 | 0.00 | 7269.91 | collect_gops_fire__FP8_process |
| (...) | | | | | |

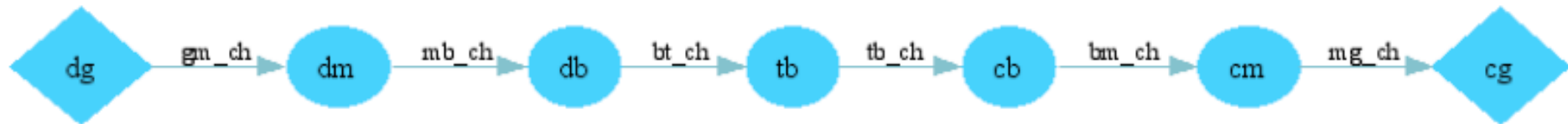
MPEG2-Decoder: Profiling

Parallelisierung
für drei
Konfigurationen
(N1, N2, N3)



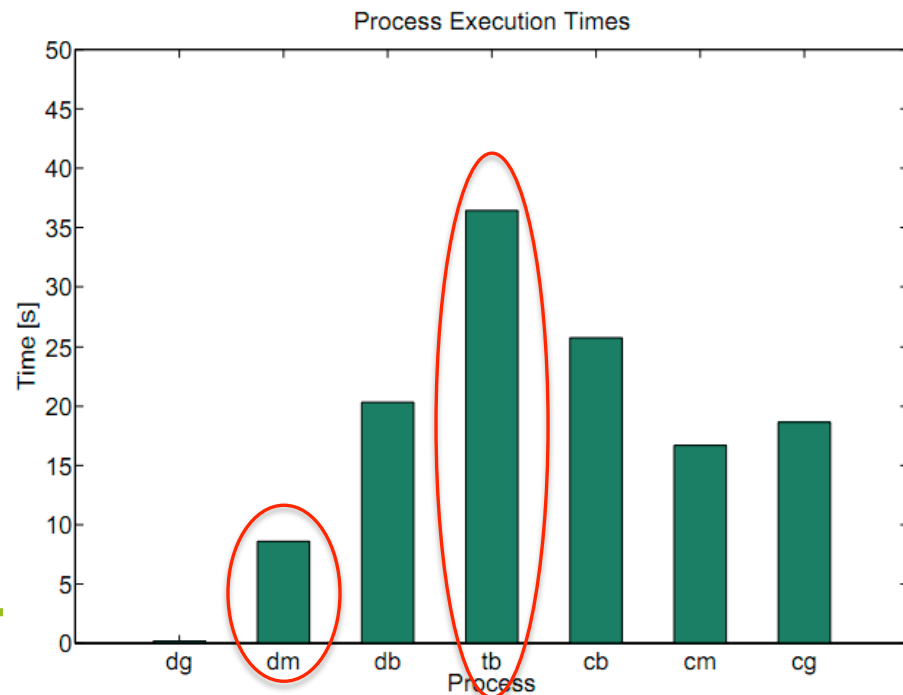
MPEG2-Decoder: Ergebnisse

- Beispielarchitektur: 2 RISC-CPUs, 2 DSPs
- Konfiguration (1, 1, 1)
- Pipeline:



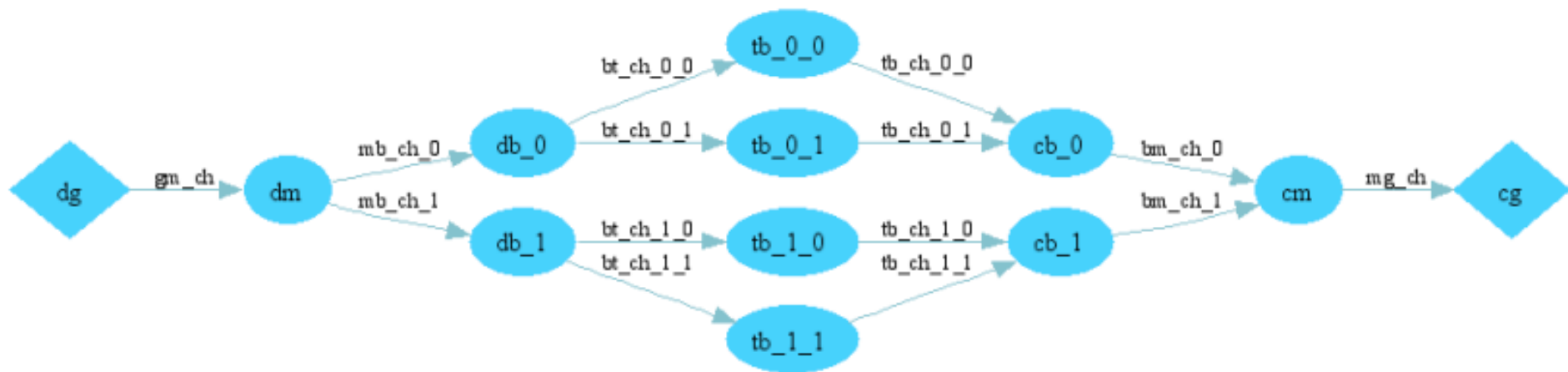
Profiling:

- Schlecht balancierte Pipeline
- Große Variation der Ausführungszeiten:
 $t(tb) \approx 2 * t(db) \approx 4 * t(dm)$



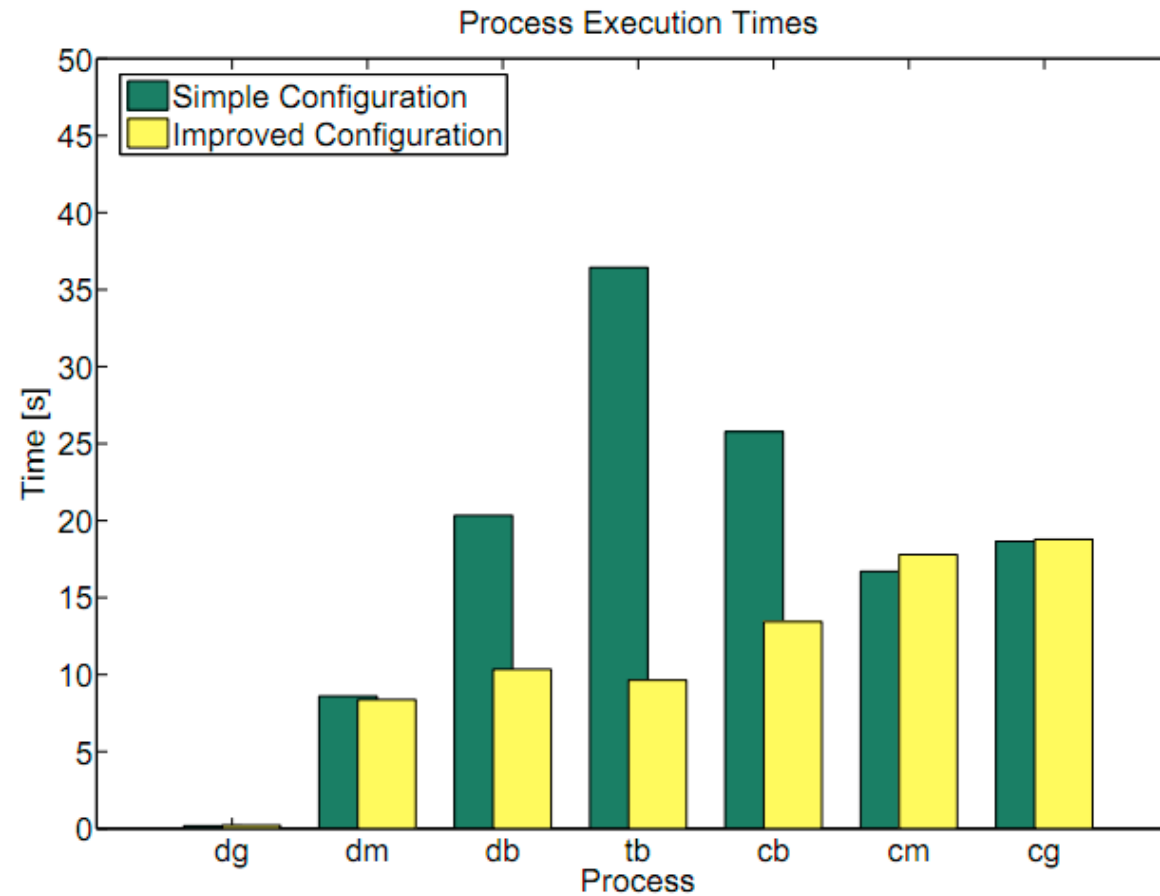
MPEG2-Decoder: Ergebnisse

- Balancierung der Pipeline:
 - 2 dispatch_block-, 4 transform_block-Tasks: (2, 2, 2)



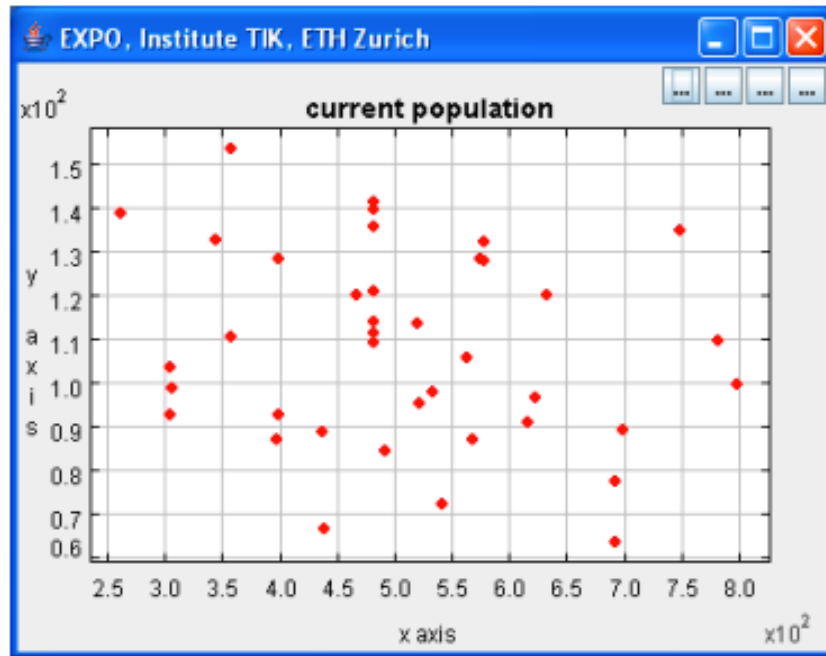
MPEG2-Decoder: Ergebnisse

- Profiling für (1, 1, 1) und (2, 2, 2):

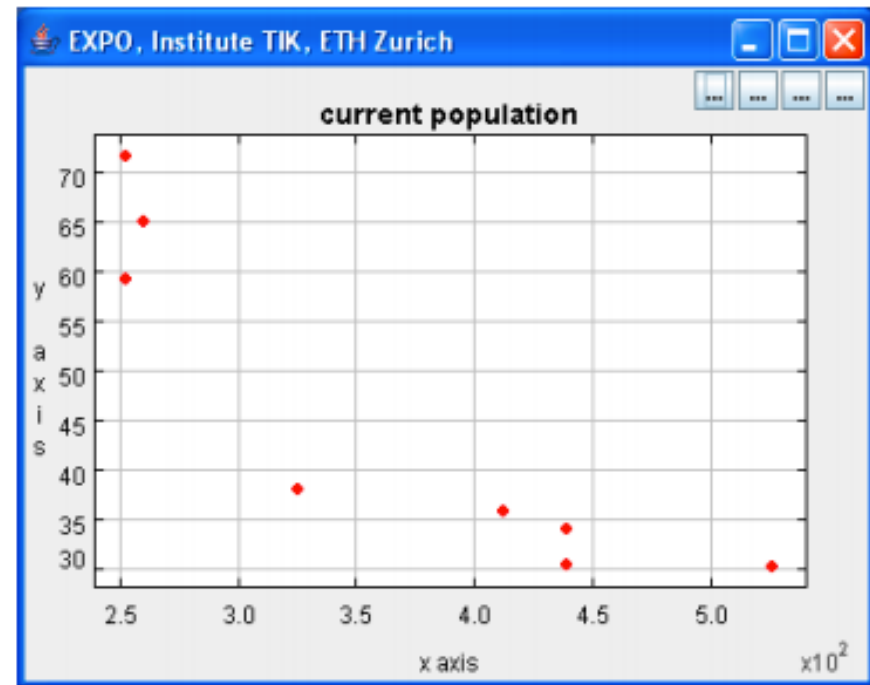


MPEG2-Decoder: Multikriterielle Optimierung

- Rechenlast (x) und Kommunikationsaufwand (y)



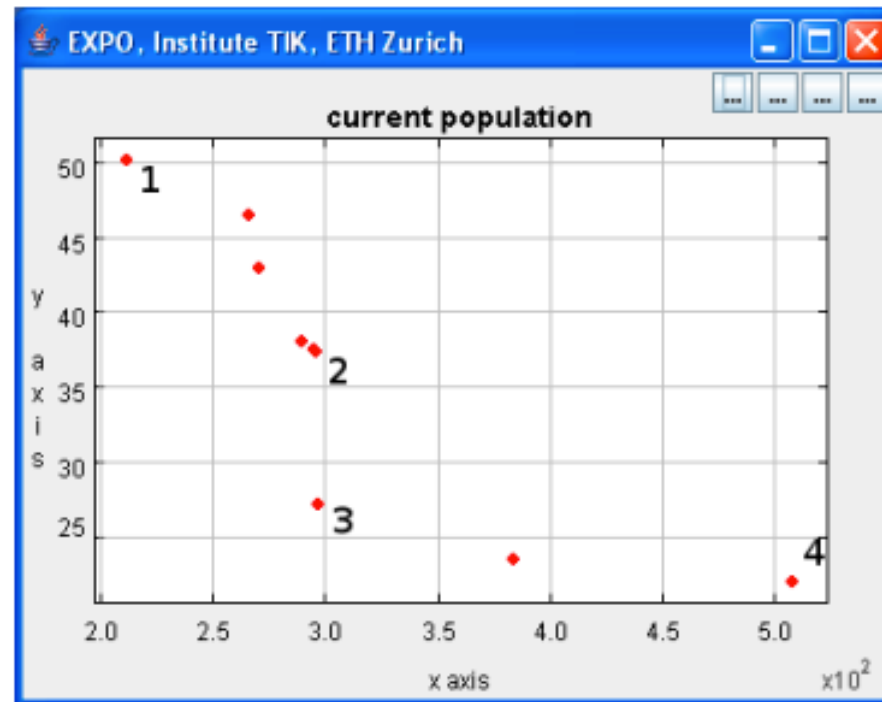
(a) Initial population



(b) Generation 20

MPEG2-Decoder: Multikriterielle Optimierung

- Rechenlast (x) und Kommunikationsaufwand (y):
 - 4 Pareto-optimale Lösungen in Generation 200 des evolutionären Algorithmus



(c) Generation 200

Zusammenfassung

- Entwurfsraumerkundung
- Beispiele